

ФГБУ «Арктический и антарктический научно-исследовательский институт»

МЦД МЛ



Информационные материалы по мониторингу морского ледяного покрова
Арктики и Южного Океана на основе данных ледового картирования и
пассивного микроволнового зондирования SSMR-SSM/I-SSMIS-AMSR₂

05.09.2024 – 17.09.2024

№ 38(676)

Санкт-Петербург 2024

тел. +7(812)337-3149, эл. почта: yms@aari.aq

Адрес в сети Интернет: <http://wdc.aari.ru/datasets/d0042/>

Содержание

Северное Полушарие	4
Рисунок 1а – Ледовая карта СЛО и повторяемость кромки за текущую неделю (цветовая окраска по общей сплоченности)
Рисунок 1б – Ледовая карта СЛО и повторяемость кромки за текущую неделю (цветовая окраска по преобладающему возрасту)
Рисунок 1в – Положение кромки льда и зон разреженных и сплоченных льдов СЛО за последний доступный срок на основе ледового анализа НЛЦ США6
Рисунок 2а – Обзорная ледовая карта СЛО за текущую неделю и аналогичные периоды 2007-2019.8
Рисунок 2б – Поля распределения средневзвешенной толщины льда совместной модели морского льда – океана HYCOM/CICE Датского метеорологического института9
Рисунок 2в – Поля распределения средней за 36-часовые промежутки температуры поверхности морского льда и океана Датского метеорологического института10
Рисунок 2г – Поле дрейфа морского льда Арктики по расчетам МЦД МЛ ААНИИ, источник данных EUMETSAT OSISAF, AMSR-211
Рисунок 2д – Ежедневные оценки сезонного хода объема морского льда СЛО на основе расчетов средневзвешенной толщины льда совместной модели морского льда – океана HYCOM/CICE Датского метеорологического института12
Рисунок 2е – Аномалии приземной температуры воздуха (2м) и осредненные вектора скорости ветра (10 м)13
Таблица 1 – Динамика изменения значений ледовитости для акваторий Северной полярной области за текущую неделю по данным наблюдений SSMR-SSM/I-SSMIS15
Таблица 2 – Медианные значения ледовитости для Северной полярной области и 3-х меридиональных секторов за текущие 30 и 7-дневные интервалы и её аномалии от 2011-2016 гг. и интервалов 2006-2017 гг. и 1978-2017 гг. по данным наблюдений SSMR-SSM/I-SSMIS15
Таблица 3 – Экстремальные и средние значения ледовитости для Северной полярной области и 3 меридиональных секторов за текущий 7-дневный интервал по данным наблюдений SSMR-SSM/I-SSMIS, алгоритм NASATEAM15
Рисунок 3а – Ежедневные оценки сезонного хода ледовитости для Северной Полярной Области и её трех меридиональных секторов за период с 26.10.1978 по текущий момент времени по годам18
Рисунок 3б – Ежедневные оценки сезонных изменений ледовитости для Северной Полярной Области с 26.10.1978 по текущий момент времени19
Рисунок 4 – Медианные распределения сплоченности льда за текущие 7 дневные промежутки (слева) и её разности относительно медианного распределения за те же промежутки за периоды 1979-2020 (центр) и 2009-2020 гг. (справа) на основе расчетов по данным SSMR-SSM/I-SSMIS, алгоритмы NASATEAM
Южный океан	20
Рисунок 5 а,б – Ледовая карта Южного Океана за последний доступный срок (окраска по общей сплоченности и преобладающему возрасту)19,21
Рисунок 5в – Положение кромки льда и зон разреженных и сплоченных льдов Южного Океана за последний доступный срок на основе ледового анализа НЛЦ США22
Рисунок 5д – Анализ ААНИИ крупных айсбергов Южного океана
Таблица 4 – Параметры крупных айсбергов Южного океана на основе анализа ААНИИ23
Рисунок 7а – Ежедневные оценки сезонного хода ледовитости Южного Океана и его трёх меридиональных секторов за период с 26.10.1978 по текущий момент времени по годам24
Рисунок 7б – Ежедневные оценки сезонного хода ледовитости Южного Океана и его трёх меридиональных секторов за период с 26.10.1978 по текущий момент времени25
Рисунок 8 – Медианные распределения общей сплоченности льда за текущие 7 дневные промежутки (слева) и её разности относительно медианного распределения за тот же промежуток за периоды 1979-2020 (центр) и 2009-2020 гг. (справа) на основе расчетов по данным SSMR-SSM/I-SSMIS, алгоритм NASATEAM
Таблица 5 – Динамика изменения значений ледовитости для акваторий Южного океана за текущий 7-дневный интервал по данным наблюдений SSMR-SSM/I-SSMIS26
Таблица 6 – Медианные значения ледовитости для Южного океана и 3 меридиональных секторов за текущие 30 и 7-дневные интервалы и её аномалии от 2011-2016 гг. и интервалов 2007-2017 гг. и 1978-2017 гг. по данным наблюдений SSMR-SSM/I-SSMIS, алгоритм NASATEAM26
Таблица 7 – Экстремальные и средние значения ледовитости для Южного океана и 3 меридиональных секторов за текущий 7-дневный интервал по данным наблюдений SSMR-SSM/I-SSMIS, алгоритм NASATEAM26

Земля в целом

Рисунок 9 – Ежедневные сглаженные окном 365 суток значения ледовитости Арктики, Антарктики и Земли в целом с 26.10.1978 на основе SSMR-SSM/I-SSMIS	27
Рисунок 10 – Ежедневные сглаженные окном 365 суток значения приведенной ледовитости Арктики, Антарктики и Земли в целом с 26.10.1978 на основе SSMR-SSM/I-SSMIS	28
Рисунок 11 – Ежедневные сглаженные окном 365 суток значения общей сплоченности Арктики и Антарктики с 26.10.1978 на основе SSMR-SSM/I-SSMIS	
Приложение 1 – Статистические значения ледовитостей по отдельным акваториям Северной Полярной Области и Южного океана	30
Таблица 8 – Средние, аномалии среднего и экстремальные значения ледовитостей для Северной полярной области и её отдельных акваторий за текущие 7-дневный (неделя) и 30-дневный промежутки времени по данным наблюдений SSMR-SSM/I-SSMIS, алгоритм NASATEAM за период 1978-2017 гг.....	30
Таблица 9 – Средние, аномалии среднего и экстремальные значения ледовитостей для Южного океана и его отдельных акваторий за текущие 7-дневный и 30-дневный промежутки времени по данным наблюдений SSMR-SSM/I-SSMIS, алгоритм NASATEAM за период 1978-2017	30
Таблица 10 – Динамика изменения значений ледовитости по сравнению с предыдущей неделей для морей Северной полярной области и Южного океана за текущий 7-дневный (неделя) промежуток времени по данным наблюдений SSMIS	
Характеристика исходного материала и методика расчетов	30
Список источников	40

Северное Полушарие

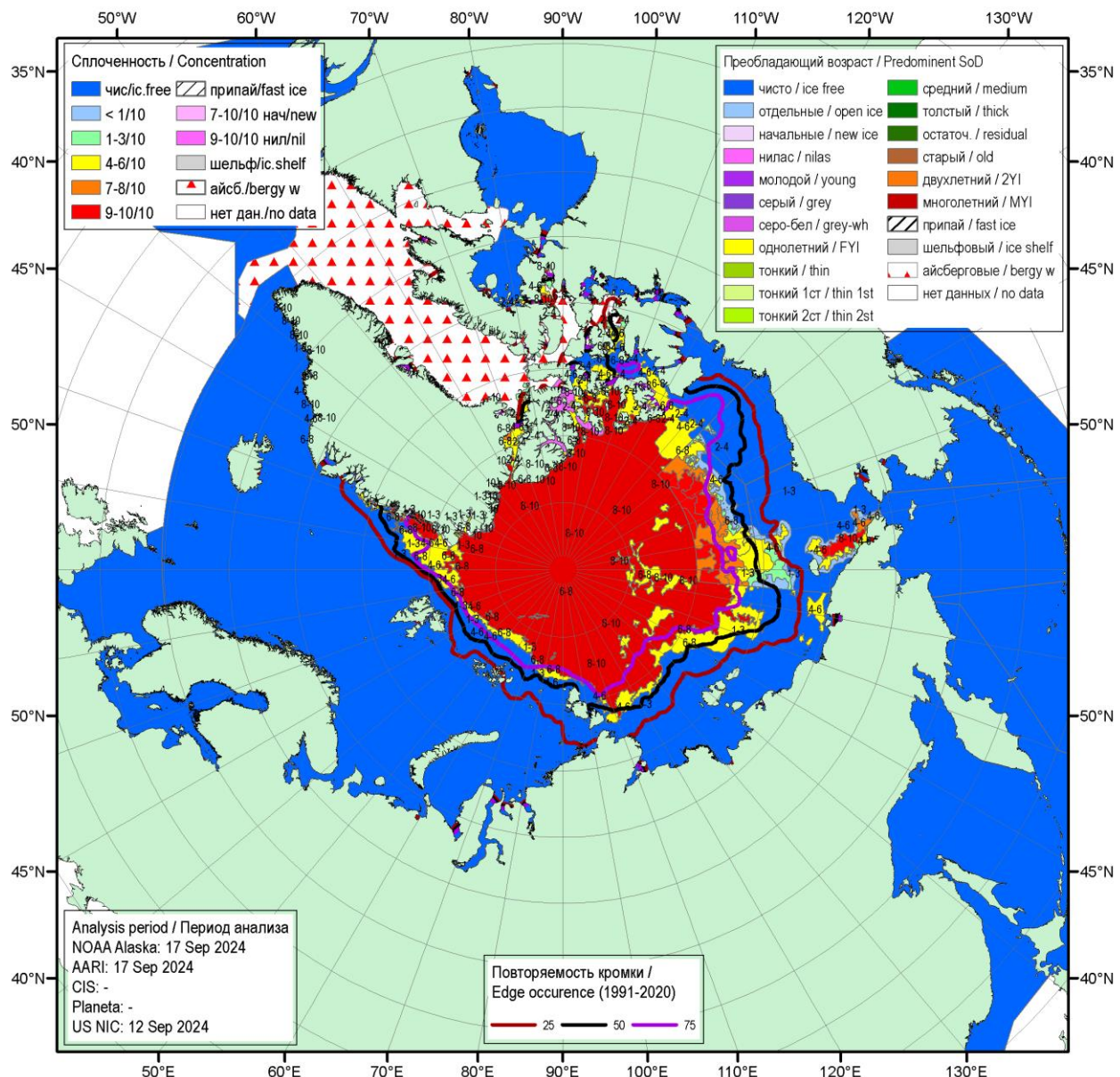


Рисунок 1а – Обзорная ледовая карта СЛО за 12.09 - 17.09.2024 г. (цветовая раскраска по общей сплощенности) на основе ледового анализа ААНИИ (17.09), NOAA Аляска (17.09), НИЦ Планета (-), Национального ледового центра США (12.09) и повторяемость кромки за 16-20.09 за период 1991-2020гг. по наблюдениям SSMR-SSM/I-SSMIS (алгоритм NASATEAM).

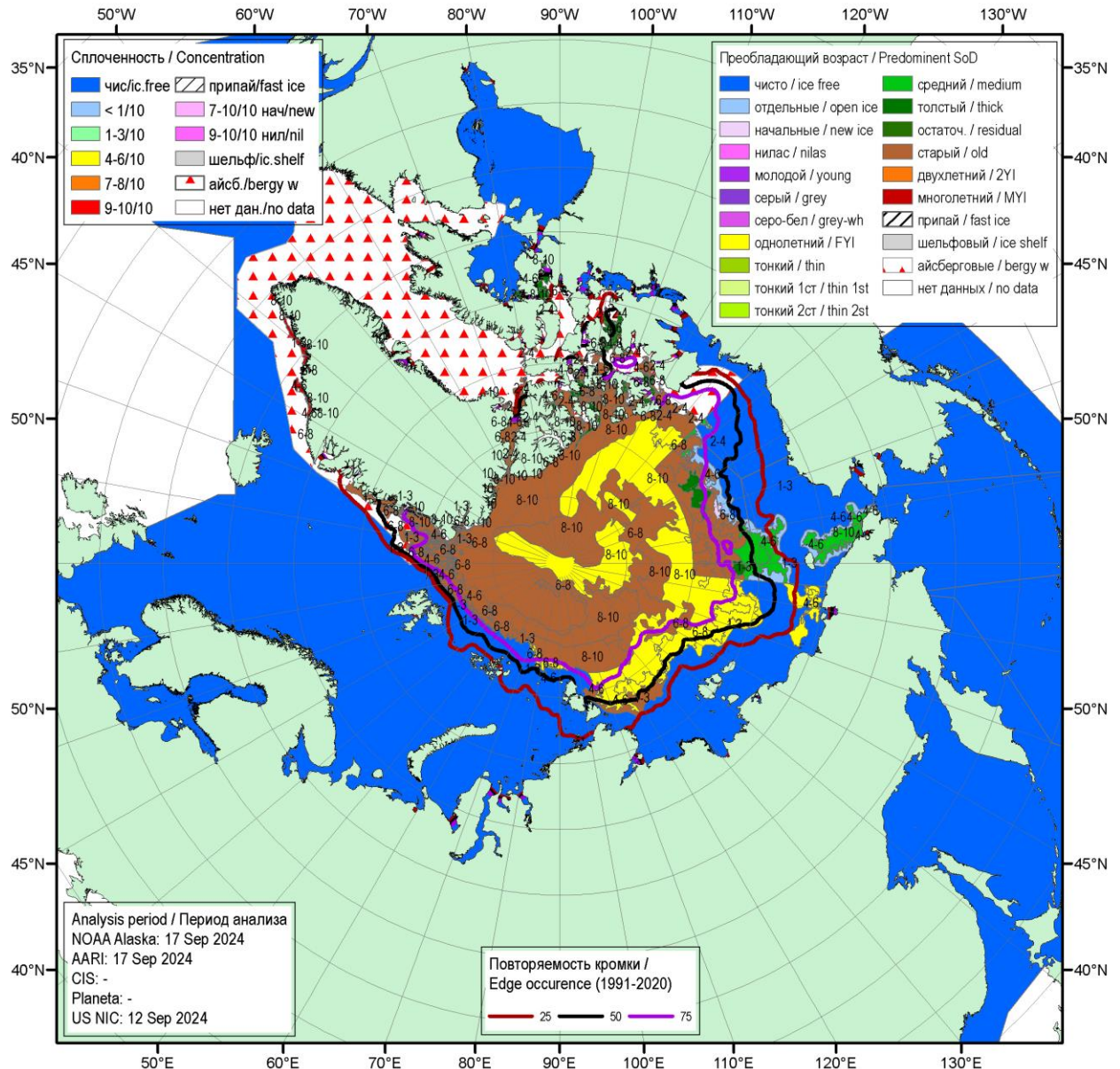


Рисунок 16 – Обзорная ледовая карта СЛО за 12.09 - 17.09.2024 г. (цветовая раскраска по преобладающему возрасту) на основе ледового анализа ААНИИ (17.09), NOAA Аляска (17.09), НИЦ Планета (-), Национального ледового центра США (12.09) и повторяемость кромки за 16-20.09 за период 1991-2020гг. по наблюдениям SSMR-SSM/I-SSMIS (алгоритм NASATEAM).

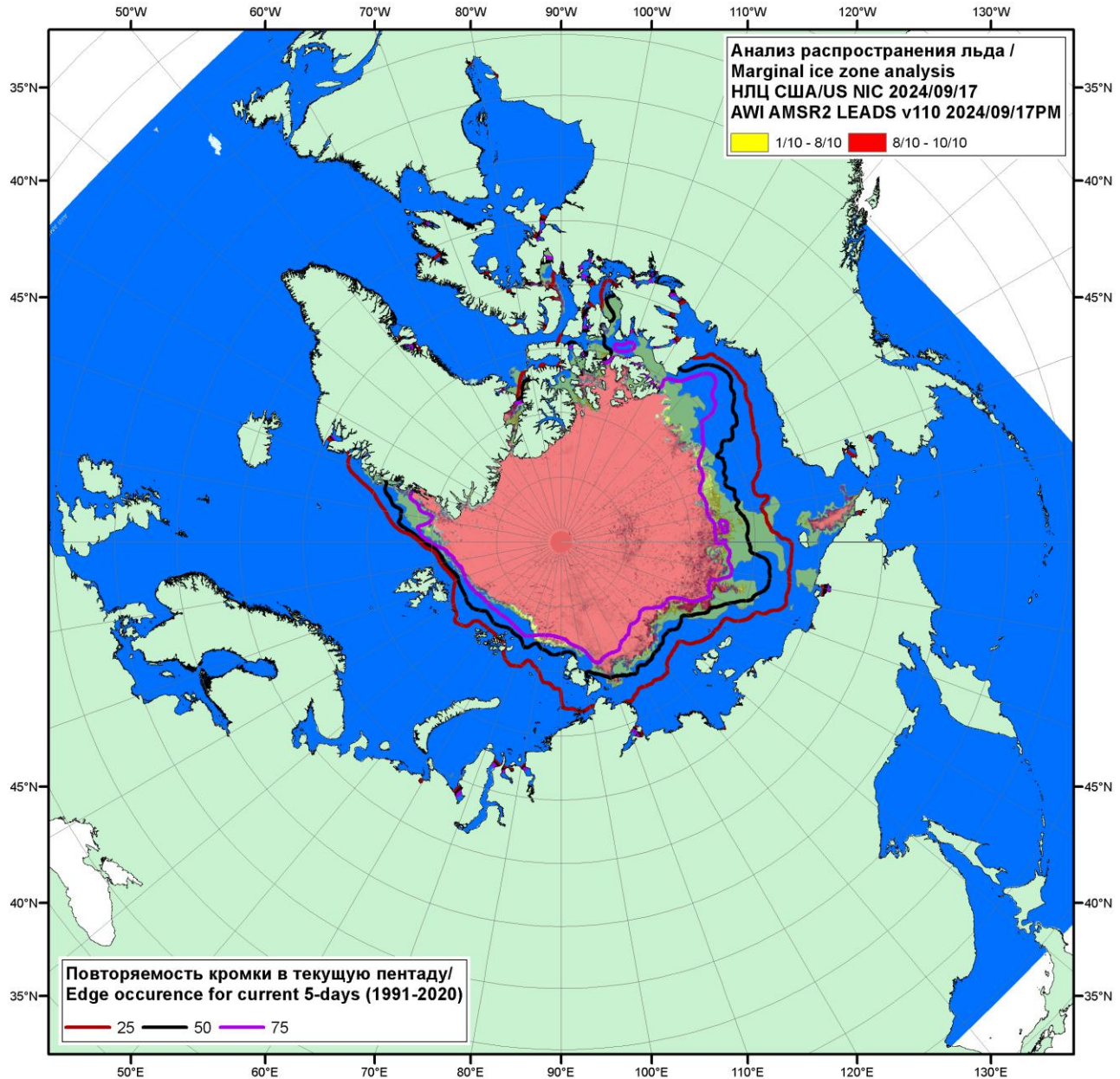


Рисунок 1в – Положение кромки льда и зон разреженных ($<8/10$) и сплоченных ($\geq 8/10$) льдов СЛО за 17.09.2024 г. на основе ледового анализа Национального Ледового Центра США и повторяемость кромки за 16-20.09 за период 1991-2020 гг. по наблюдениям SSMR-SSM/I-SSMIS (алгоритм NASATEAM), совмещенное с положением разрежений на основе данных ИСЗ AMSR2 17.09.2024 (AWI, v110).

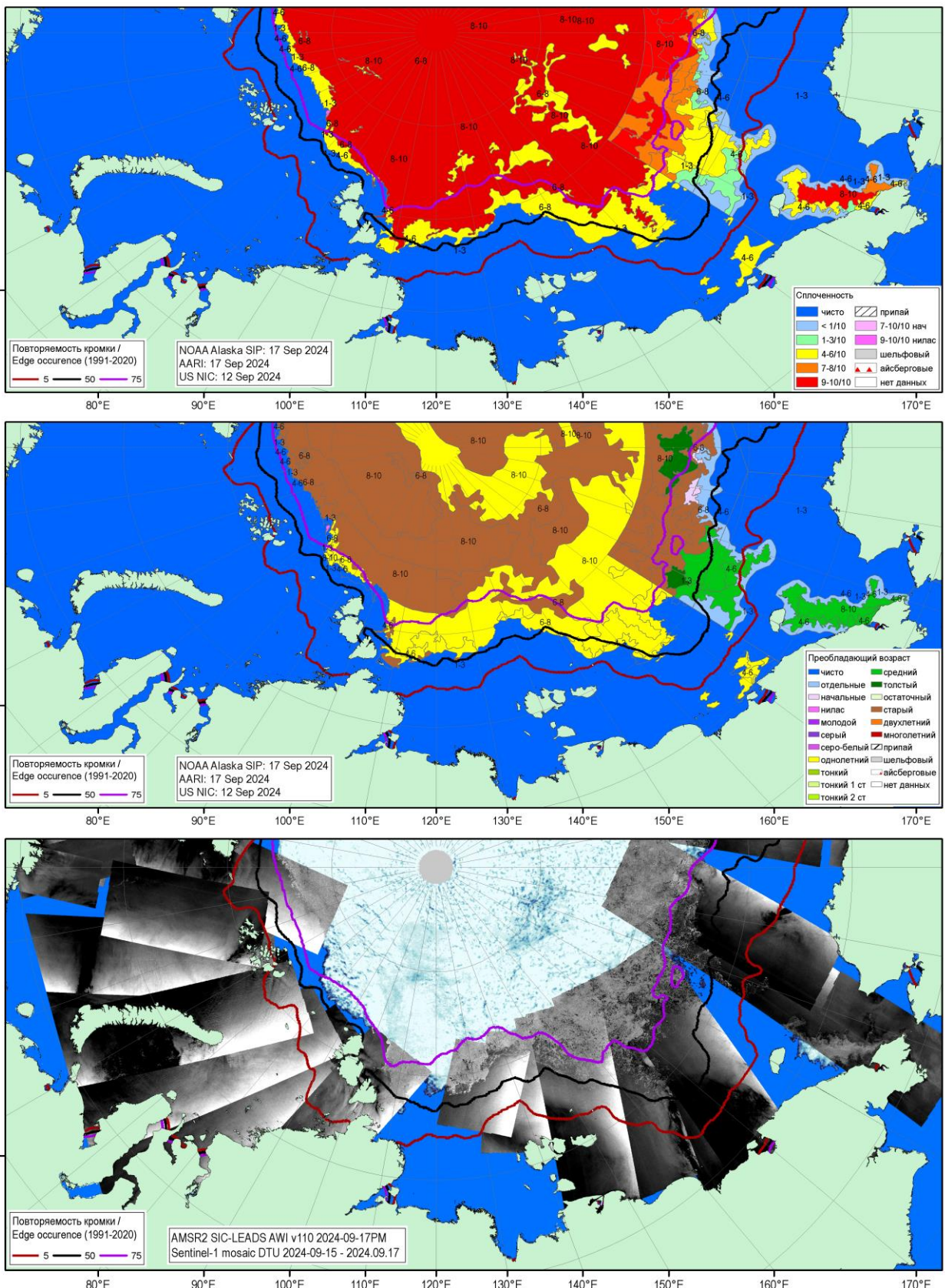


Рисунок 1г – Обзорная ледовая карта СМП за 12.09 - 17.09.2024 г. на основе ледового анализа ААНИИ (17.09), NOAA Аляска (17.09), НИЦ Планета (-), Национального ледового центра США (12.09), повторяемость кромки за 16-20.09 за период 1991-2020гг. по наблюдениям SSMR-SSM/I-SSMIS (алгоритм NASATEAM), оценка сплощенности льда и положения полыней за 17.09.2024 на основе данных AMSR2 (AWI, ver.110) и мозаика радиолокационных снимков ИСЗ Sentinel-1 за 15-17.09.2024 (DTU)

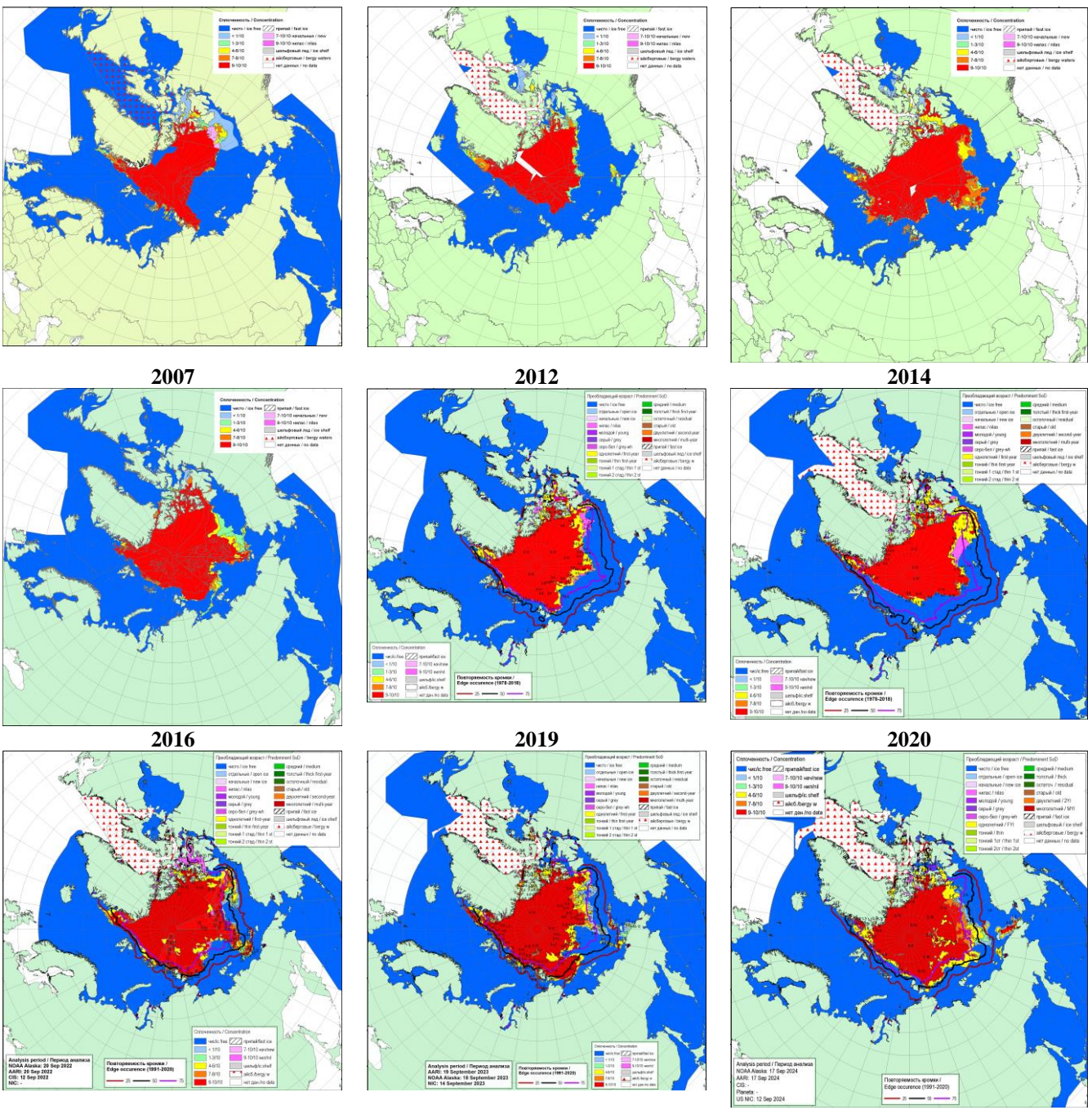


Рисунок 2а – Ледовые условия за 12.09-17.09.2024г. и аналогичные периоды 2007-2023 гг. на основе ледового анализа ААНИИ, НИЦ Планета, Канадской ледовой службы, Национального ледового центра США и NOAA Аляска.

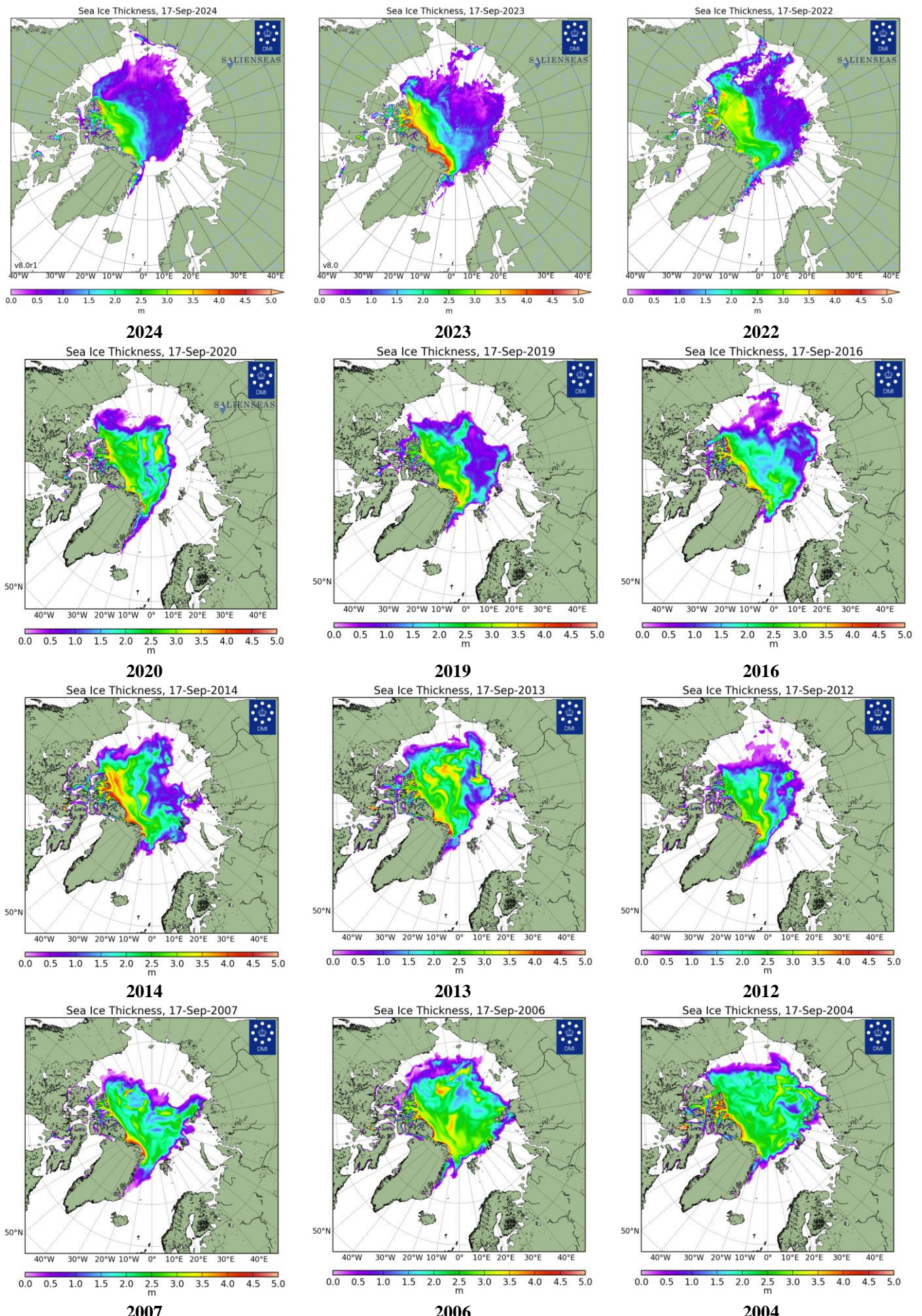


Рисунок 26 – Поля распределения средневзвешенной толщины льда совместной модели морского льда – океана HYCOM/CICE Датского метеорологического института 17.09 за 2004-2024 гг.

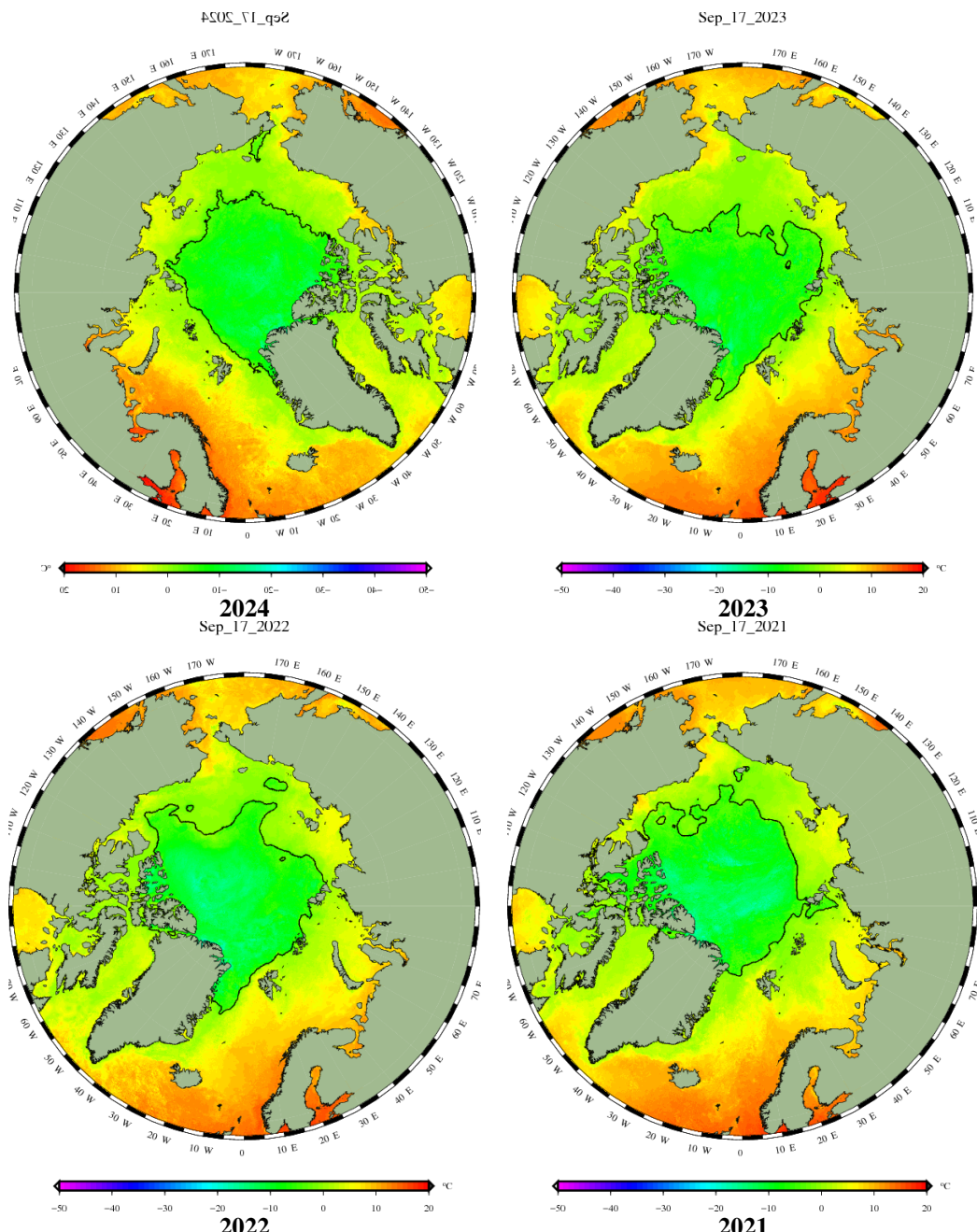


Рисунок 2в – Поля распределения средней за 36-часовые промежутки температуры поверхности морского льда и океана Датского метеорологического института на основе статистической обработки ИК-каналов AVHRR ИСЗ MetOp-A за 15.09-17.09 2021-2024 гг. (<http://polarportal.dk/en/sea-ice-and-icebergs/sea-ice-temperature/#c8099>)

Ice drift speed for 20240910T1200-20240917T1200

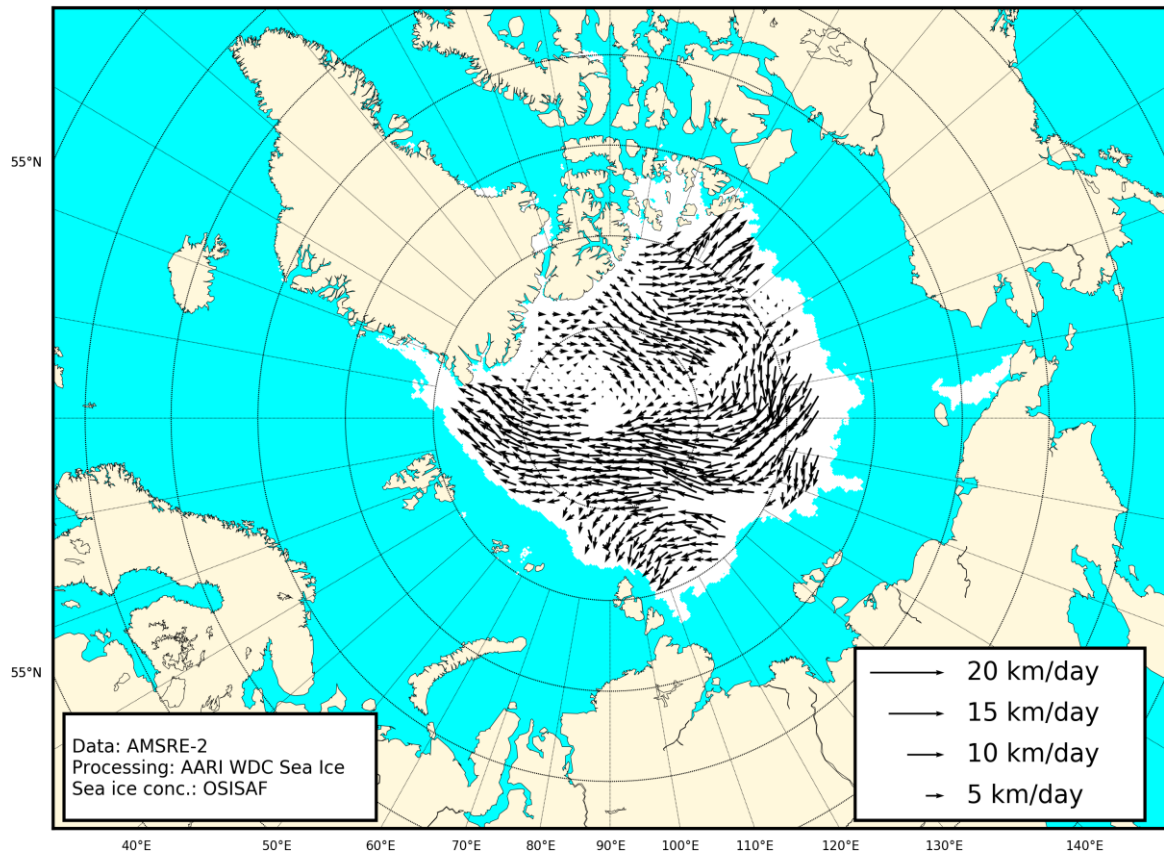


Рисунок 2г – Поле дрейфа морского льда Арктики за последнюю неделю, источник OSI SAF EUMETSAT.

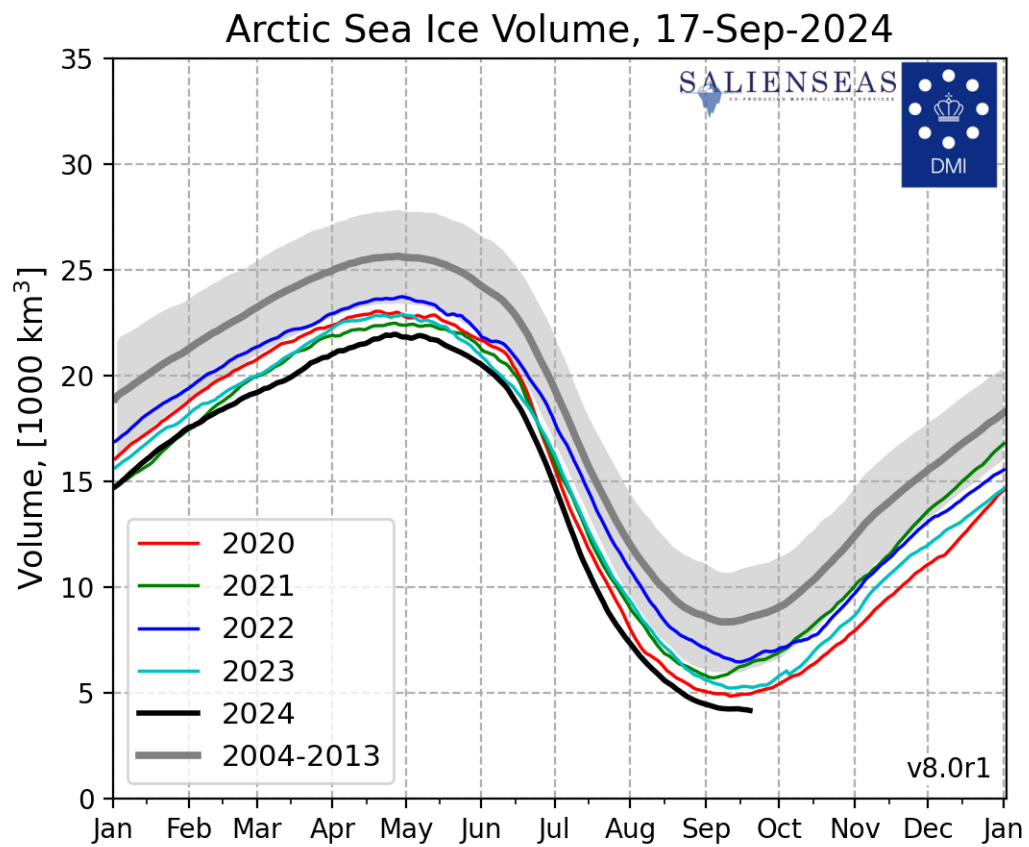
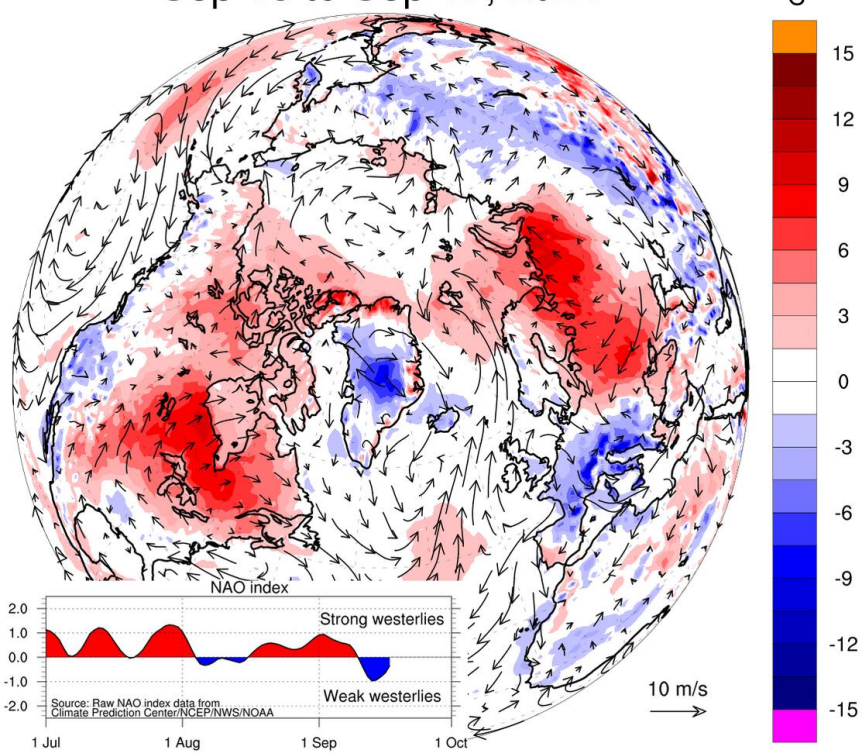


Рисунок 2д – Ежедневные оценки сезонного хода объема морского льда СЛО на основе расчетов средневзвешенной толщины льда совместной модели морского льда – океана HYCOM/CICE Датского метеорологического института с 28.02.2004 по 17.09.2024 гг.

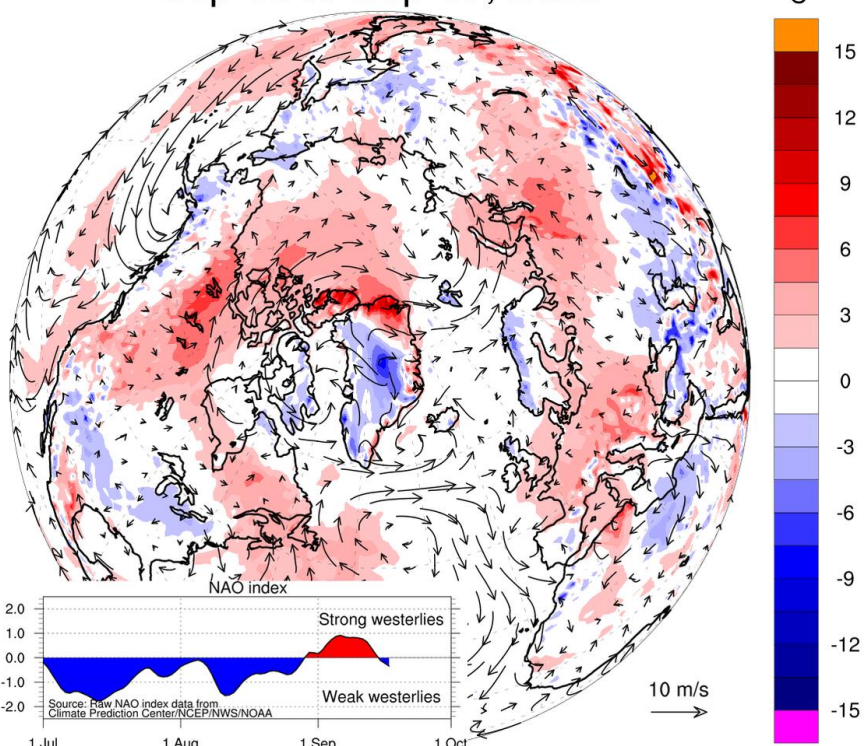
Sep 13 to Sep 17, 2024



ECMWF forecast: 2-m temperature and 10-m wind
T2m anomaly relative to ERA-Interim 2004-2013

polarportal.dk

Sep 13 to Sep 17, 2023



ECMWF forecast: 2-m temperature and 10-m wind
T2m anomaly relative to ERA-Interim 2004-2013

polarportal.dk

Рисунок 2е – Аномалии приземной температуры воздуха (2м) и осредненные вектора скорости ветра (10 м) за 13.09 - 17.09 в 2023-2024 гг. относительно периода 2004-2013 гг. (<http://polarportal.dk>)

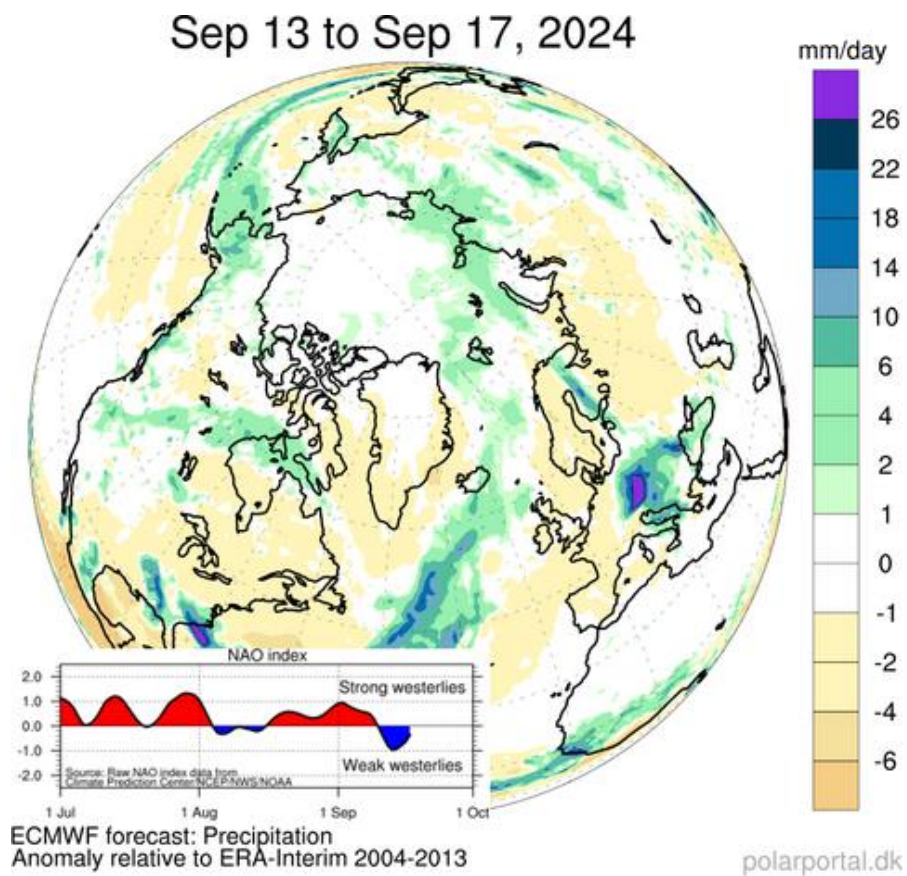


Рисунок 2ж – Аномалии приземной суммы осадков 13.09 – 17.09.2024 гг. относительно периода 2004-2013 гг. (<http://polarportal.dk>)

Таблица 1 – Динамика изменения значений ледовитости по сравнению с предыдущей неделей для морей Северной полярной области 05.09 – 11.09.2024 г. по данным наблюдений SSMR-SSM/I-SSMIS

Регион	Северная полярная область	Сектор 45°W-95°E (Гренландское - Карское моря)	Сектор 95°E-170°W (моря Лаптевых - Чукотское, Берингово, Охотское)	Сектор 170°W-45°W (море Бофорта и Канадская Арктика)	Северный Ледовитый океан	Моря СМП (моря Карское-Чукотское)
Разность	-122.8	36.5	-96.4	-62.9	-111.3	-59.1
тыс.кв.км/сут.	-17.5	5.2	-13.8	-9.0	-15.9	-8.4

Таблица 2 - Медианные значения ледовитости для Северной полярной области, 3-х меридиональных секторов и моря СМП за текущие 30 и 7-дневные интервалы, и её аномалии от 2019-2023 гг. и интервалов 2014-2024 гг. и 1978-2024 гг. по данным наблюдений SSMR-SSM/I-SSMIS, алгоритмы NASATEAM

Северная полярная область

Месяц	S, тыс. км2	Аномалии, тыс км2/%						
		2019 г	2020 г	2021 г	2022 г	2023 г	2014-2024гг	1978-2024гг
12.08-11.09	4869.3	259.4	237.1	-594.6	-685.4	-184.8	-196.6	-1392.6
		5.6	5.1	-10.9	-12.3	-3.7	-3.9	-22.2
05-11.09	4473.8	153.5	494.1	-552.4	-558.4	-64.9	-124.0	-1387.2
		3.6	12.4	-11.0	-11.1	-1.4	-2.7	-23.7

Сектор 45°W-95°E (Гренландское - Карское моря)

Месяц	S, тыс. км2	Аномалии, тыс км2/%						
		2019 г	2020 г	2021 г	2022 г	2023 г	2014-2024гг	1978-2024гг
12.08-11.09	929.1	-337.1	-51.0	-147.1	-335.3	-433.9	-244.7	-535.4
		-26.6	-5.2	-13.7	-26.5	-31.8	-20.8	-36.6
05-11.09	913.0	-301.3	89.1	-48.6	-342.6	-311.6	-197.4	-468.2
		-24.8	10.8	-5.1	-27.3	-25.4	-17.8	-33.9

Сектор 95°E-170°W (моря Лаптевых - Чукотское, Берингово, Охотское)

Месяц	S, тыс. км2	Аномалии, тыс км2/%						
		2019 г	2020 г	2021 г	2022 г	2023 г	2014-2024гг	1978-2024гг
12.08-11.09	1775.8	612.3	673.1	355.5	-7.5	281.2	273.1	-259.4
		52.6	61.0	25.0	-0.4	18.8	18.2	-12.7
05-11.09	1515.7	464.2	633.9	177.3	-14.5	189.0	219.8	-364.8
		44.1	71.9	13.2	-0.9	14.2	17.0	-19.4

Сектор 170°W-45°W (море Бофорта и Канадская Арктика)

Месяц	S, тыс. км2	Аномалии, тыс км2/%						
		2019 г	2020 г	2021 г	2022 г	2023 г	2014-2024гг	1978-2024гг
12.08-11.09	2164.4	-15.8	-385.0	-802.9	-342.7	-32.1	-225.0	-597.8
		-0.7	-15.1	-27.1	-13.7	-1.5	-9.4	-21.6
05-11.09	2045.1	-9.5	-228.9	-681.0	-201.4	57.6	-146.4	-554.2
		-0.5	-10.1	-25.0	-9.0	2.9	-6.7	-21.3

Северный Ледовитый океан

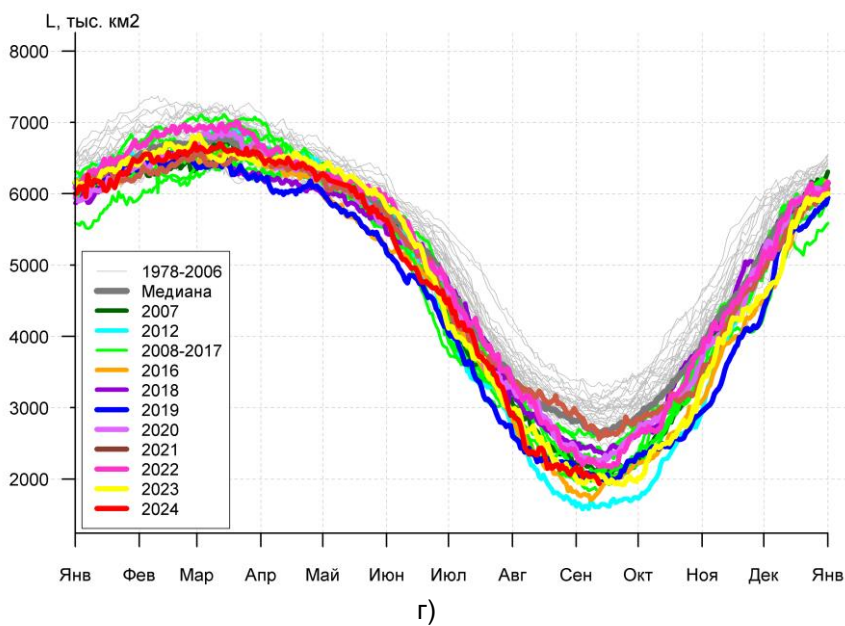
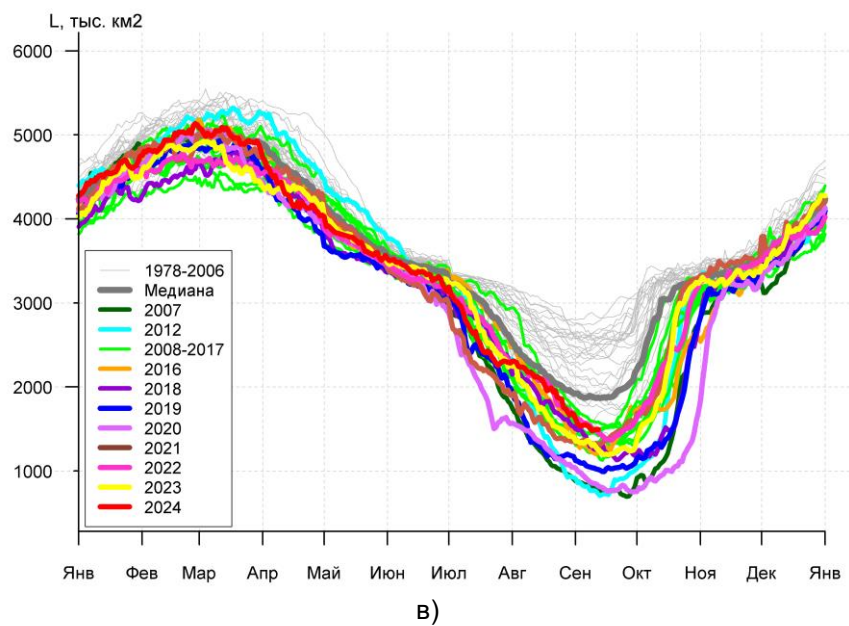
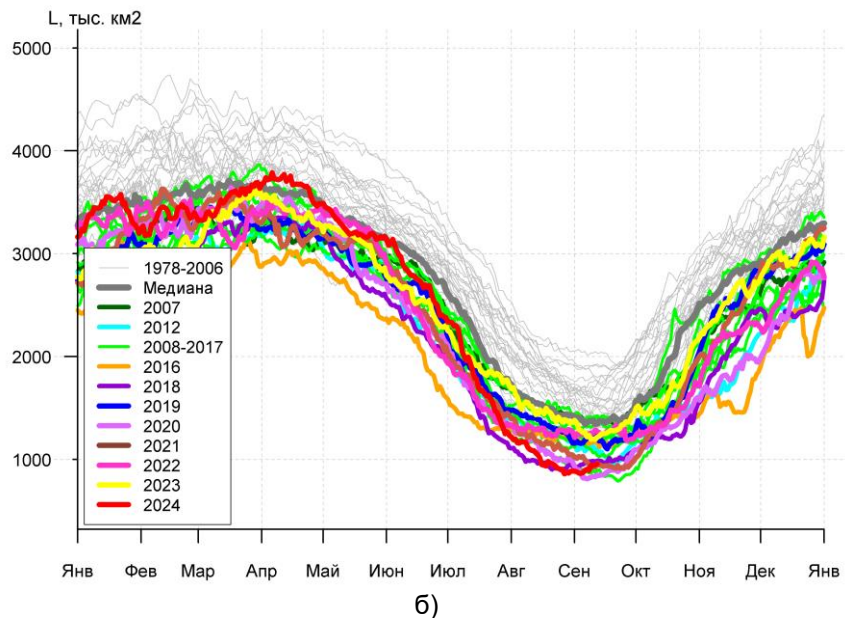
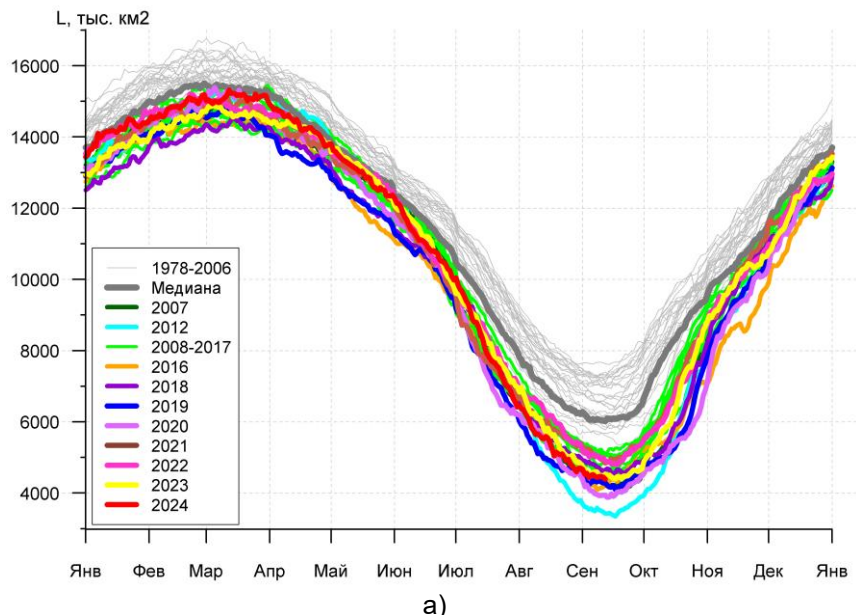
Месяц	S, тыс. км2	Аномалии, тыс км2/%						
		2019 г	2020 г	2021 г	2022 г	2023 г	2014-2024гг	1978-2024гг
12.08-11.09	4585.9	67.4	225.6	-611.2	-696.1	-200.0	-303.8	-1567.9
		1.5	5.2	-11.8	-13.2	-4.2	-6.2	-25.5
05-11.09	4192.1	-63.1	478.4	-576.3	-575.0	-108.9	-250.4	-1570.1
		-1.5	12.9	-12.1	-12.1	-2.5	-5.6	-27.2

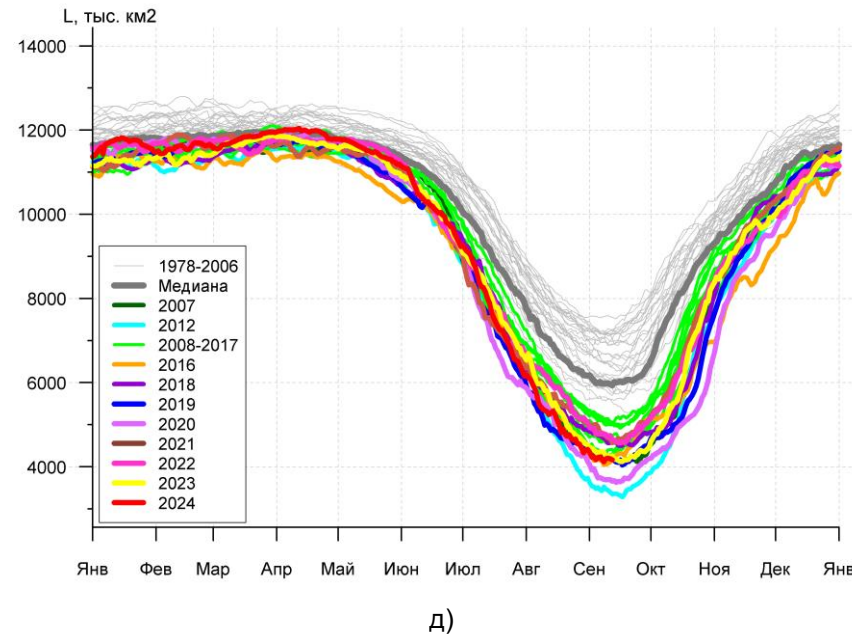
Моря СМП (моря Карское-Чукотское)

Месяц	S, тыс. км2	Аномалии, тыс км2/%						
		2019 г	2020 г	2021 г	2022 г	2023 г	2014-2024гг	1978-2024гг
12.08-11.09	417.0	312.9	370.7	66.7	-125.2	-58.0	59.2	-503.8
		300.7	800.7	19.0	-23.1	-12.2	16.6	-54.7
05-11.09	219.8	125.4	195.9	18.6	-133.3	-136.6	-8.8	-549.4
		132.8	819.3	9.2	-37.8	-38.3	-3.8	-71.4

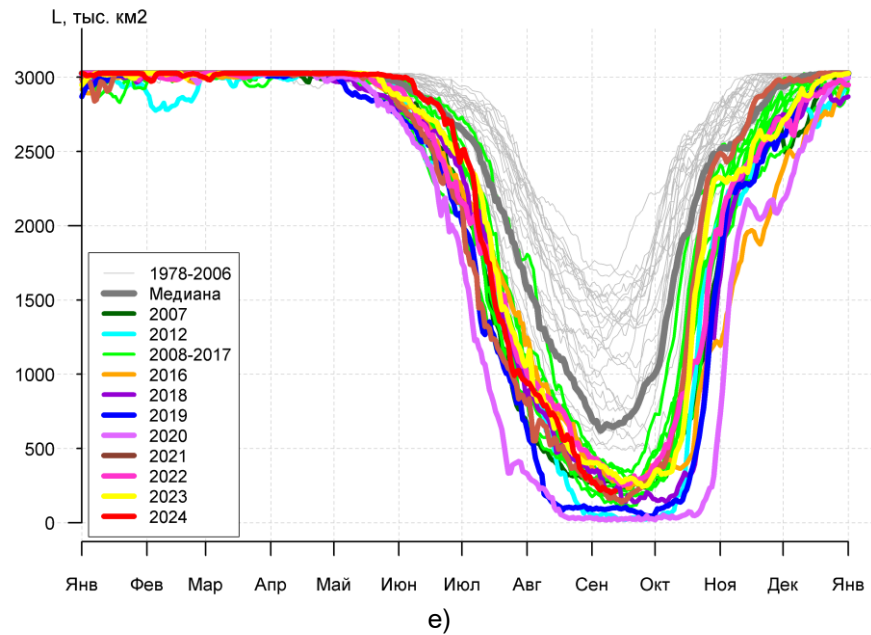
Таблица 3 – Экстремальные и средние значения ледовитости для Северной полярной области, 3 меридиональных секторов и моря СМП за текущий 7-дневный интервал по данным наблюдений SSMR-SSM/I-SSMIS, алгоритмы

Северная полярная область				
Месяц	Минимальное знач.	Максимальное знач.	Среднее знач.	Медиана
05-11.09	3471.3 11.09.2012	7680.8 10.09.1980	5861.0	6020.1
Сектор 45°W-95°E (Гренландское - Карское моря)				
Месяц	Минимальное знач.	Максимальное знач.	Среднее знач.	Медиана
05-11.09	811.5 07.09.2020	2050.9 06.09.1989	1381.3	1352.7
Сектор 95°E-170°W (моря Лаптевых - Чукотское, Берингово, Охотское)				
Месяц	Минимальное знач.	Максимальное знач.	Среднее знач.	Медиана
05-11.09	758.7 11.09.2012	2887.3 09.09.1979	1880.5	1865.2
Сектор 170°W-45°W (море Бофорта и Канадская Арктика)				
Месяц	Минимальное знач.	Максимальное знач.	Среднее знач.	Медиана
05-11.09	1582.6 07.09.2012	3377.2 05.09.1983	2599.3	2689.4
Северный Ледовитый океан				
Месяц	Минимальное знач.	Максимальное знач.	Среднее знач.	Медиана
05-11.09	3402.2 11.09.2012	7593.1 10.09.1980	5762.2	5952.2
Моря СМП (моря Карское-Чукотское)				
Месяц	Минимальное знач.	Максимальное знач.	Среднее знач.	Медиана
05-11.09	19.5 08.09.2020	1743.8 05.09.1980	769.2	633.3





д)



е)

Рисунок За – Ежедневные оценки сезонного хода ледовитости для Северной Полярной Области и трех меридиональных секторов за период 26.10.1978 – 11.09.2024 по годам на основе расчетов по данным SSMR-SSMI-SSMIS, алгоритмы NASATEAM: а) Северная полярная область, б) сектор 45°W-95°E (Гренландское – Карское моря), в) сектор 95°E-170°W (моря Лаптевых – Чукотское и Берингово, Охотское), г) сектор 170°W-45°W (море Бофорта и Канадская Арктика), д) Северный Ледовитый океан, е) Северный морской путь (Карское - Чукотское моря).

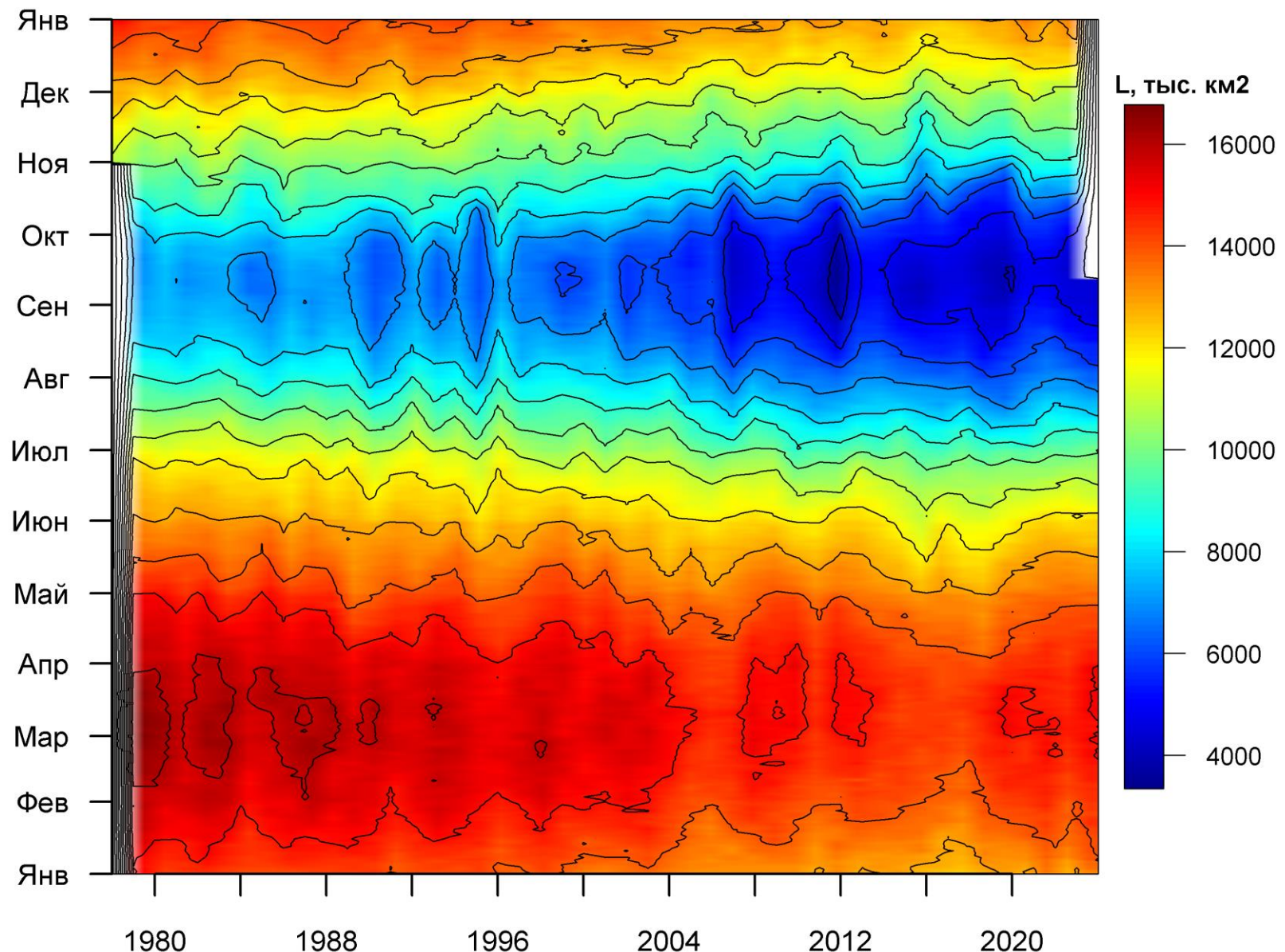


Рисунок 3б – Ежедневные оценки сезонных изменений ледовитости для Северной Полярной Области за период 26.10.1978 – 11.09.2024 на основе расчетов по данным SSMR-SSM/I-SSMIS, алгоритм NASATEAM.

Южный океан

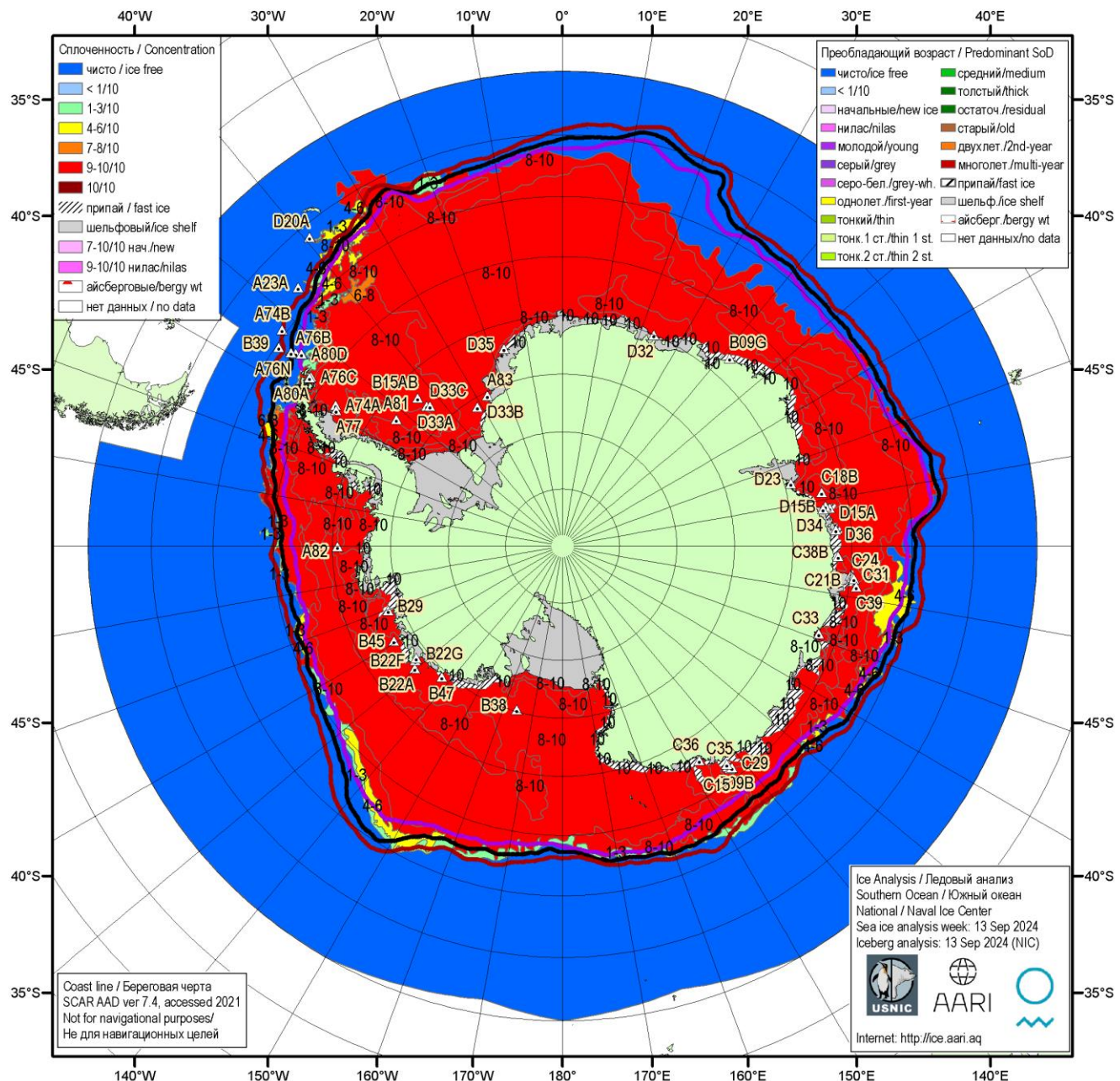


Рисунок 5а – Ледовая карта Южного океана (цветовая окраска по общей сплошности) и расположение крупных айсбергов на основе ледового анализа за 13.09.2024 в рамках проекта совместного ледового картирования Южного океана ААНИИ, НЛЦ США и НМИ и повторяемость кромки за 11-15.09 за период 1991-2020 гг. по наблюдениям SSMR-SSM/I-SSMIS (алгоритм NASATEAM)

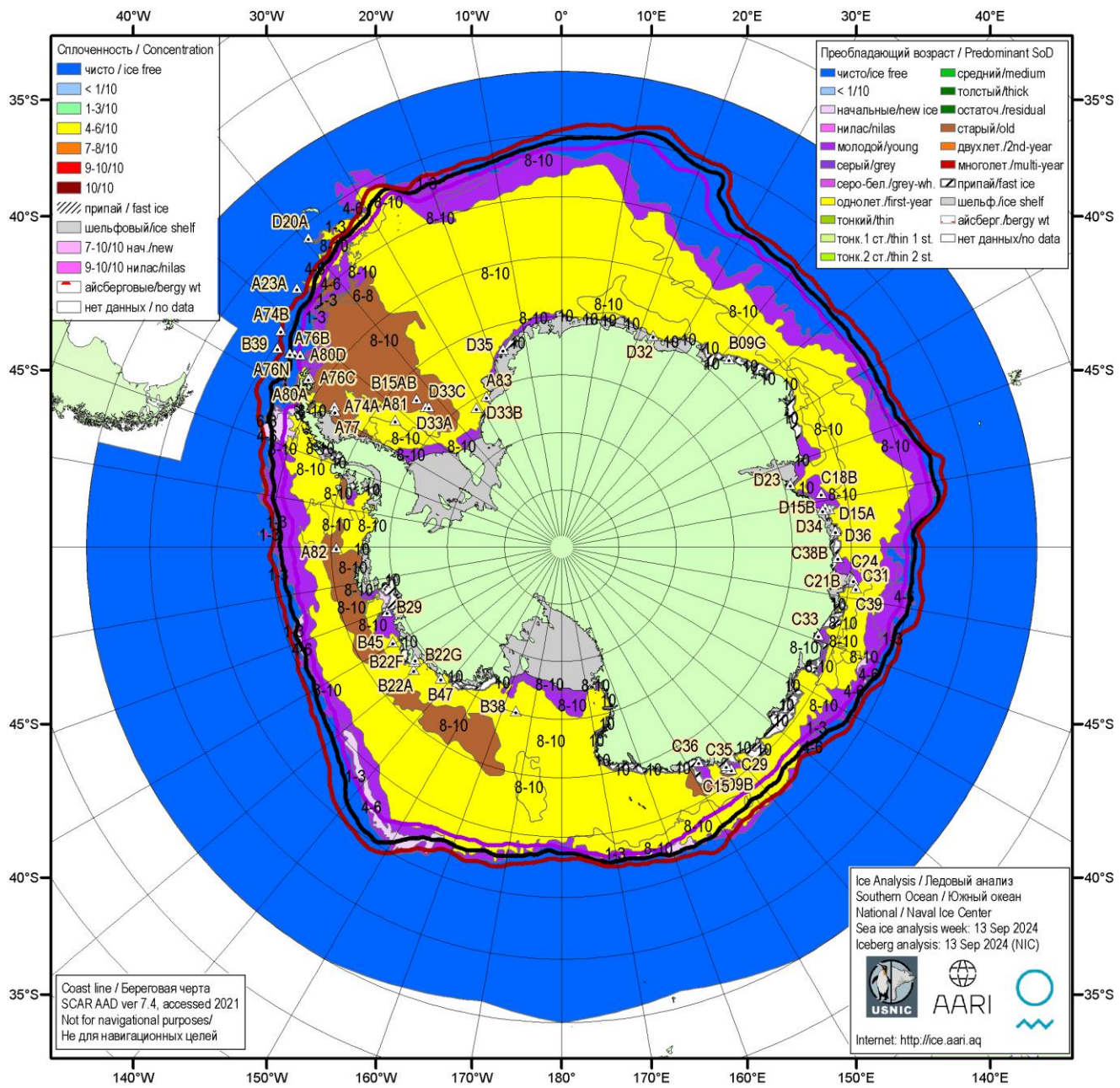


Рисунок 5в – Ледовая карта Южного океана (цветовая окраска по возрасту) и расположение крупных айсбергов на основе ледового анализа за 13.09.2024 в рамках проекта совместного ледового картирования Южного океана ААНИИ, НЛЦ США и НМИ и повторяемость кромки за 11-15.09 за период 1991-2020 гг. по наблюдениям SSMR-SSM/I-SSMIS (алгоритм NASATEAM)

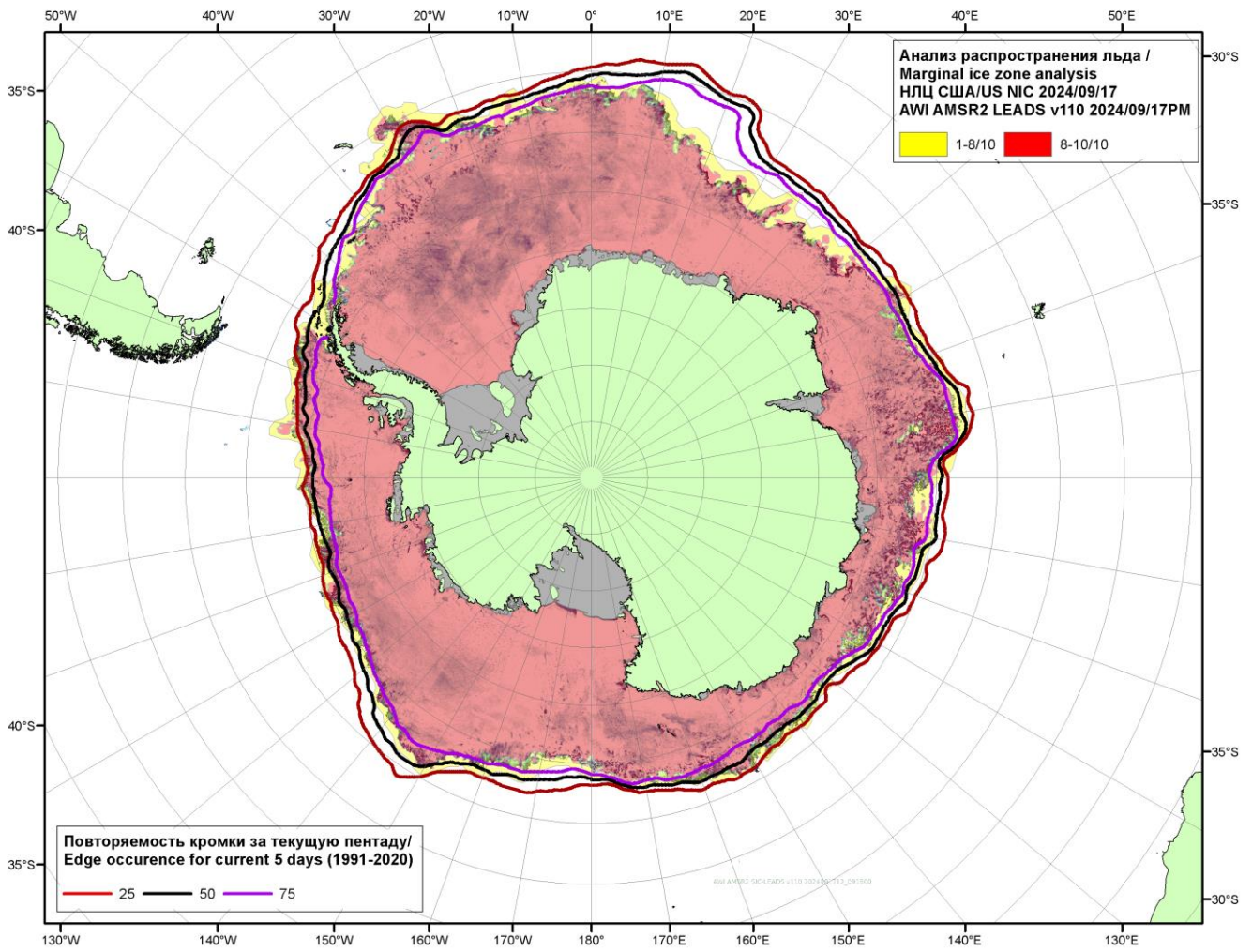


Рисунок 5в – Положение кромки льда и зон разреженных (<8/10) и сплоченных ($\geq 8/10$) льдов Южного океана за 17.09.2024 г. на основе ледового анализа Национального Ледового Центра США и повторяемость кромки за 16-20.09 за период 1991-2020 гг. по наблюдениям SSMR-SSM/I-SSMIS (алгоритм NASATEAM), совмещенное с положением разрежений на основе данных ИСЗ AMSR2 за 17.09.2024 (AWI, v110).

Таблица 4 – Линейные размеры крупных айсбергов Южного океана на основе анализа НЛЦ США за 13.09.2024 / Table 4 – Southern Ocean tabular icebergs linear dimensions based on US NIC analysis for 2024-09-13

Имя/ Name	Длина/ Length км/км	Ширина/ Width км/км	Площадь/ Area кв.км/sq.km	Имя/ Name	Длина/ Length км/км	Ширина/ Width км/км	Площадь/ Area кв.км/sq.km
A23A	74.1	59.3	3690.4	B09G	22.2	13.0	161.9
D15A	94.5	40.7	3052.6	A82	22.2	14.8	123.7
B22A	61.1	48.2	1703.7	D20A	25.9	9.3	123.4
A81	51.9	46.3	1348.6	D23	13.0	11.1	123.3
A74A	55.6	33.3	1081.9	D32	16.7	11.1	120.9
D15B	59.3	22.2	847.1	B47	35.2	9.3	100.7
C36	42.6	29.6	810.5	B22G	16.7	9.3	95.0
B22F	40.7	27.8	701.1	B15AB	18.5	7.4	89.7
D33A	63.0	18.5	636.6	A76N	16.7	7.4	88.2
B09B	50.0	18.5	505.5	B39	14.8	7.4	77.8
D35	51.9	11.1	386.4	C30	16.7	5.6	77.1
A76C	29.6	13.0	348.6	B45	13.0	7.4	76.5
A77	50.0	7.4	331.8	A74B	14.8	7.4	75.9
D33B	38.9	22.2	312.2	C33	20.4	7.4	75.0
A83	22.2	13.0	258.3	C31	16.7	5.6	72.1
C21B	22.2	14.8	258.1	D36	20.4	9.3	67.5
D33C	27.8	13.0	227.4	C29	13.0	9.3	67.1
A76B	27.8	13.0	221.6	B29	20.4	9.3	65.5
C15	25.9	18.5	220.7	C24	20.4	5.6	62.3
C39	27.8	14.8	206.5	B38	11.1	7.4	60.0
C18B	37.0	7.4	205.9	C35	14.8	9.3	57.7
A80A	18.5	16.7	203.6	A80D	11.1	9.3	55.7
D34	20.4	14.8	173.8	C38B	14.8	13.0	47.9

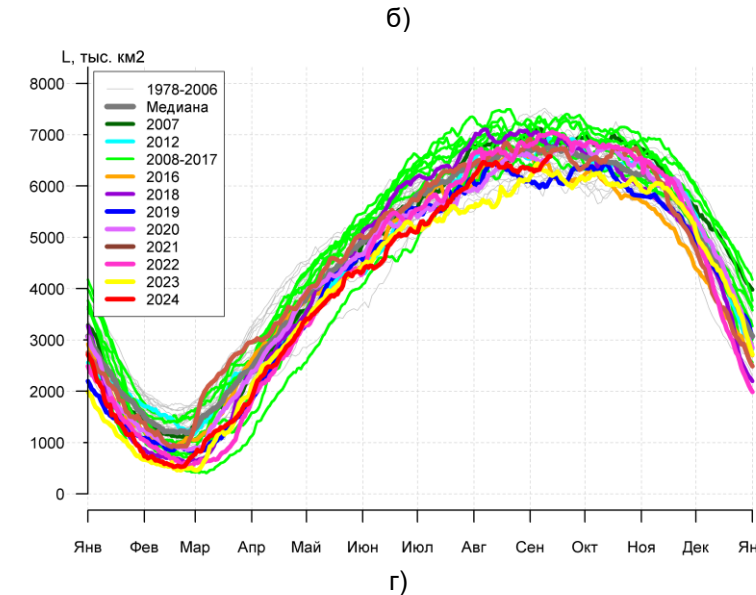
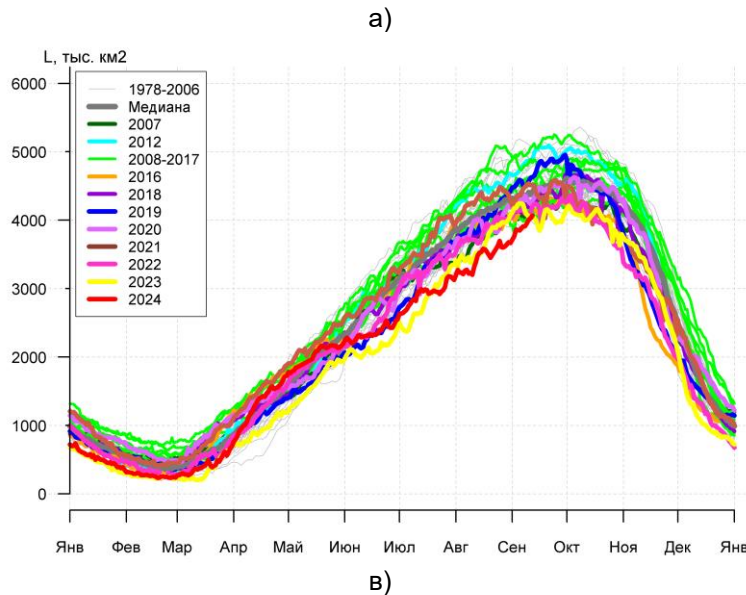
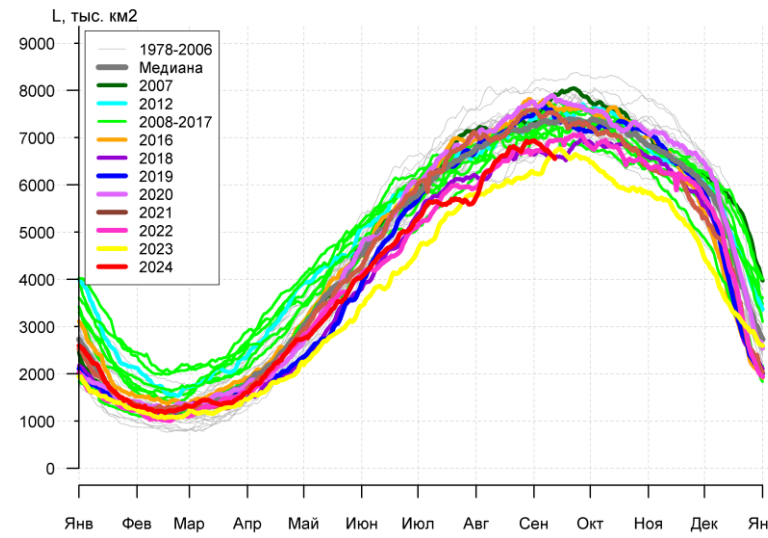
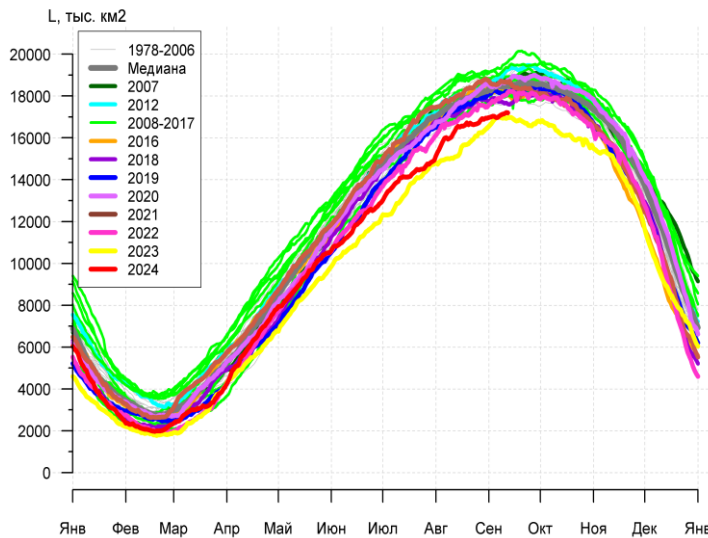


Рисунок 7а – Ежедневные оценки сезонного хода ледовитости Южного Океана и меридиональных секторов за период 26.10.1978 – 11.09.2024 по годам на основе расчетов по данным SSMR-SSM/I-SSMIS, алгоритм NASATEAM: а) Южный Океан, б) Атлантический сектор (60°W - 30°E , море Уэдделла), в) Индоокеанский сектор (30°E - 150°E , моря Космонавтов, Содружества, Моусона), г) Тихоокеанский сектор (150°E - 60°W , моря Росса, Беллинсгаузена)

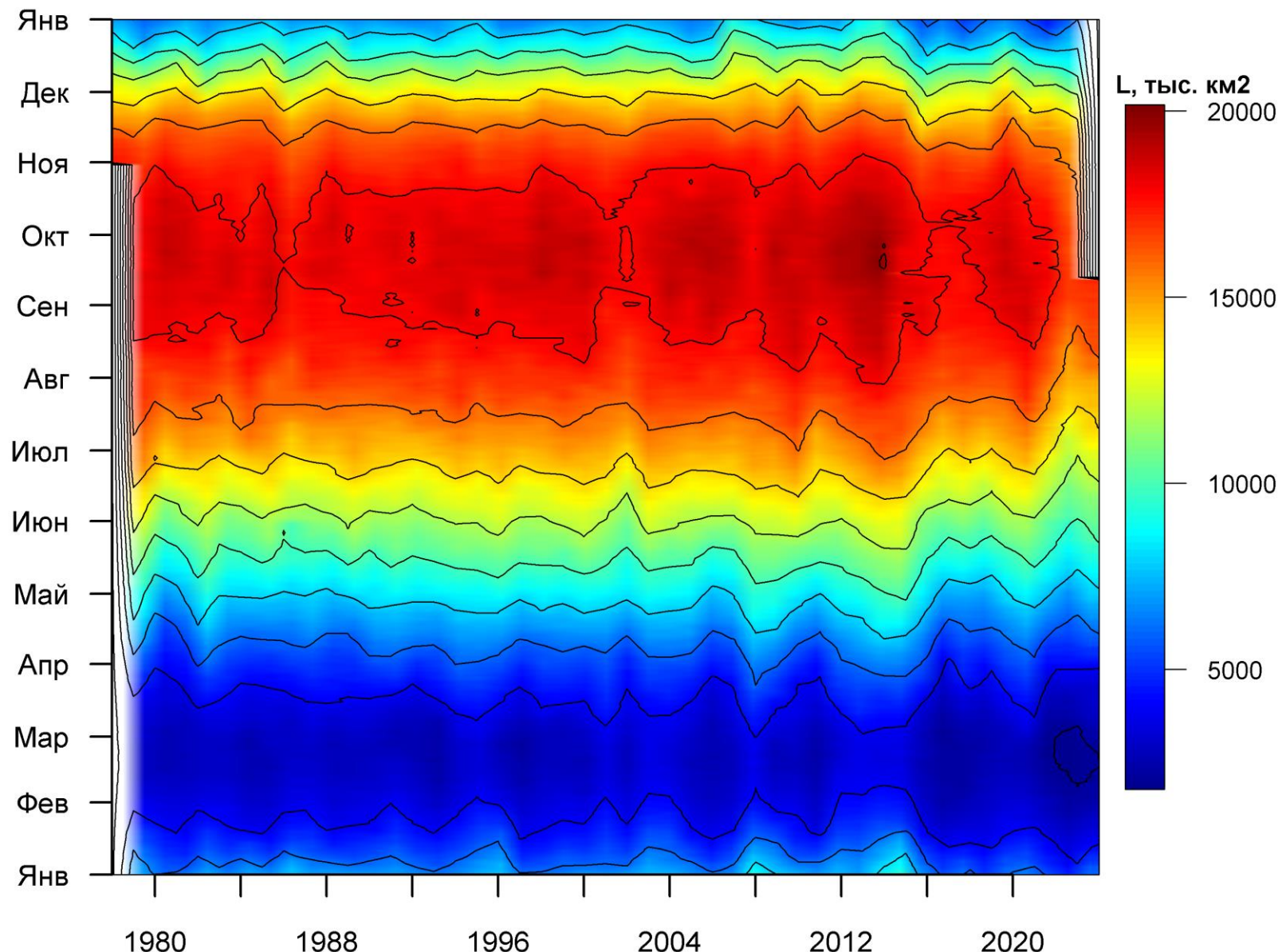


Рисунок 7б – Ежедневные оценки сезонных изменений ледовитости для Южного океана за период 26.10.1978 - 11.09.2024 на основе расчетов по данным SSMR-SSM/I-SSMIS, алгоритмом NASATEAM.

Таблица 5 – Динамика изменения значений ледовитости по сравнению с предыдущей неделей для морей Южного океана за 05.09 - 11.09.2024 по данным наблюдений SSMR-SSM/I-SSMIS

Регион	Южный Океан	Атлантический сектор	Индоокеанский сектор	Тихоокеанский сектор
Разность	112.9	-187.6	192.9	107.5
тыс.кв.км/сут.	16.1	-26.8	27.6	15.4

Таблица 6 - Медианные значения ледовитости для Южного океана и 3 меридиональных секторов за текущие 30 и 7-дневные интервалы и её аномалии от 2019-2023 гг. и интервалов 2014-2024 гг. и 1978-2024 гг. по данным наблюдений SSMR-SSM/I

Южный Океан

Месяц	S, тыс. км ²	Аномалии, тыс км ² /%						
		2019 г	2020 г	2021 г	2022 г	2023 г	2014-2024гг	1978-2024гг
12.08-11.09	16813.2	-1041.3	-1402.6	-1666.8	-625.6	612.4	-962.7	-1253.0
		-5.8	-7.7	-9.0	-3.6	3.8	-5.4	-6.9
05-11.09	17086.5	-1084.7	-1510.3	-1554.7	-851.9	126.4	-1029.1	-1305.8
		-6.0	-8.1	-8.3	-4.7	0.7	-5.7	-7.1

Атлантический сектор (60°W-30°E, море Уэдделла)

Месяц	S, тыс. км ²	Аномалии, тыс км ² /%						
		2019 г	2020 г	2021 г	2022 г	2023 г	2014-2024гг	1978-2024гг
12.08-11.09	6759.3	-633.2	-843.0	-615.5	78.8	549.9	-301.4	-393.5
		-8.6	-11.1	-8.3	1.2	8.9	-4.3	-5.5
05-11.09	6715.7	-889.8	-1093.0	-781.7	-117.1	230.2	-489.6	-585.6
		-11.7	-14.0	-10.4	-1.7	3.5	-6.8	-8.0

Индоокеанский сектор (30°E-150°E, моря Космонавтов, Содружества, Моусона)

Месяц	S, тыс. км ²	Аномалии, тыс км ² /%						
		2019 г	2020 г	2021 г	2022 г	2023 г	2014-2024гг	1978-2024гг
12.08-11.09	3679.8	-596.2	-405.4	-698.3	-305.4	-252.3	-451.1	-604.4
		-13.9	-9.9	-16.0	-7.7	-6.4	-10.9	-14.1
05-11.09	3935.0	-618.8	-356.2	-532.3	-183.0	-211.5	-344.4	-487.6
		-13.6	-8.3	-11.9	-4.4	-5.1	-8.0	-11.0

Тихоокеанский сектор (150°E-60°W, моря Росса, Беллинсгаузена)

Месяц	S, тыс. км ²	Аномалии, тыс км ² /%						
		2019 г	2020 г	2021 г	2022 г	2023 г	2014-2024гг	1978-2024гг
12.08-11.09	6374.1	188.2	-154.3	-353.0	-399.0	314.8	-210.3	-255.2
		3.0	-2.4	-5.2	-5.9	5.2	-3.2	-3.8
05-11.09	6435.7	424.0	-61.1	-240.7	-551.8	107.7	-195.1	-232.6
		7.1	-0.9	-3.6	-7.9	1.7	-2.9	-3.5

Таблица 7 – Экстремальные значения ледовитости для Южного океана и 3 меридиональных секторов за текущий 7-дневный интервал по Южный Океан

Южный Океан

Месяц	Минимальное знач.	Максимальное знач.	Среднее знач.	Медиана
05-11.09	16928.6 11.09.2023	19566.1 11.09.2014	18392.3	18447.2

Атлантический сектор (60°W-30°E, море Уэдделла)

Месяц	Минимальное знач.	Максимальное знач.	Среднее знач.	Медиана
05-11.09	6253.1 05.09.2023	8261.1 06.09.1980	7301.4	7326.9

Индоокеанский сектор (30°E-150°E, моря Космонавтов, Содружества, Моусона)

Месяц	Минимальное знач.	Максимальное знач.	Среднее знач.	Медиана
05-11.09	3846.7 07.09.2000	5185.8 05.09.1982	4422.6	4359.5

Тихоокеанский сектор (150°E-60°W, моря Росса, Беллинсгаузена)

Месяц	Минимальное знач.	Максимальное знач.	Среднее знач.	Медиана
05-11.09	5802.8 08.09.1987	7516.8 09.09.2000	6668.3	6685.2

Ледовитость, тыс. км²

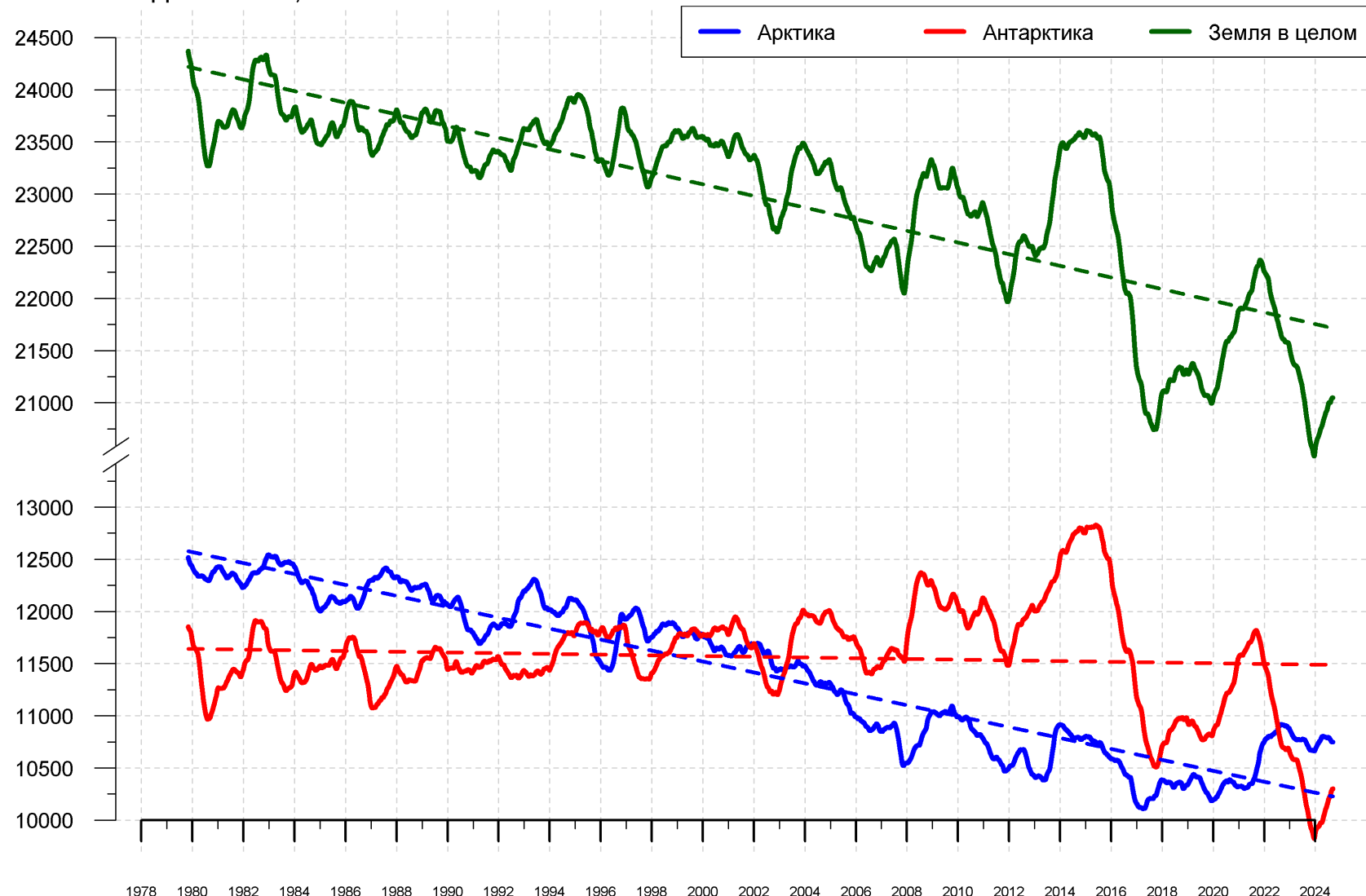


Рисунок 9 – Ежедневные сглаженные окном 365 суток значения ледовитости (площади распространения морского льда) Арктики, Антарктики и Земли в целом с 26.10.1978 по 11.09.2024 на основе SSMR-SSM/I-SSMIS

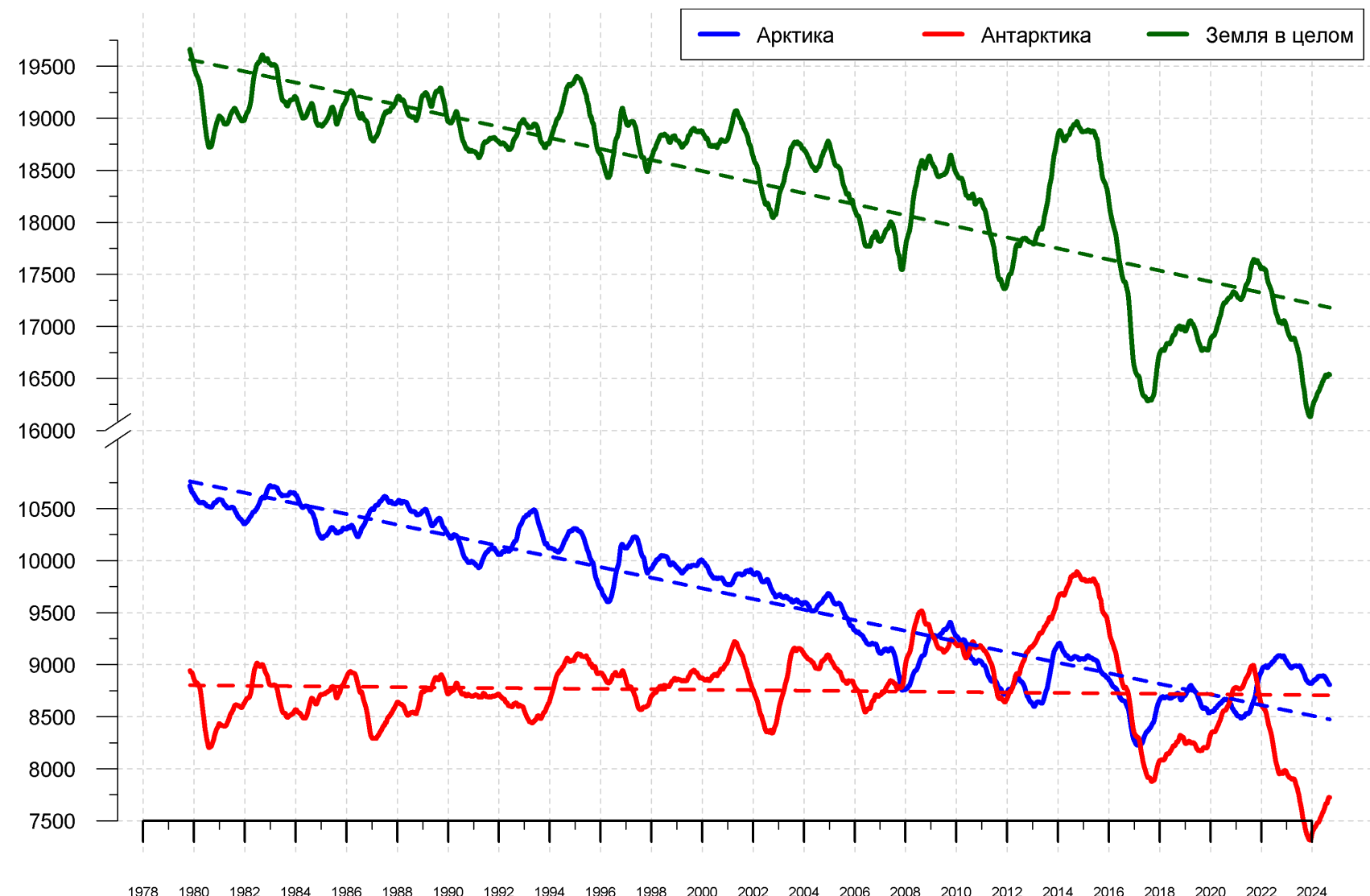


Рисунок 10 – Ежедневные сглаженные окном 365 суток значения приведенной ледовитости (площади морского льда) Арктики, Антарктики и Земли в целом с 25.10.1978 по 11.09.2024 на основе SSMR-SSM/I-SSMIS

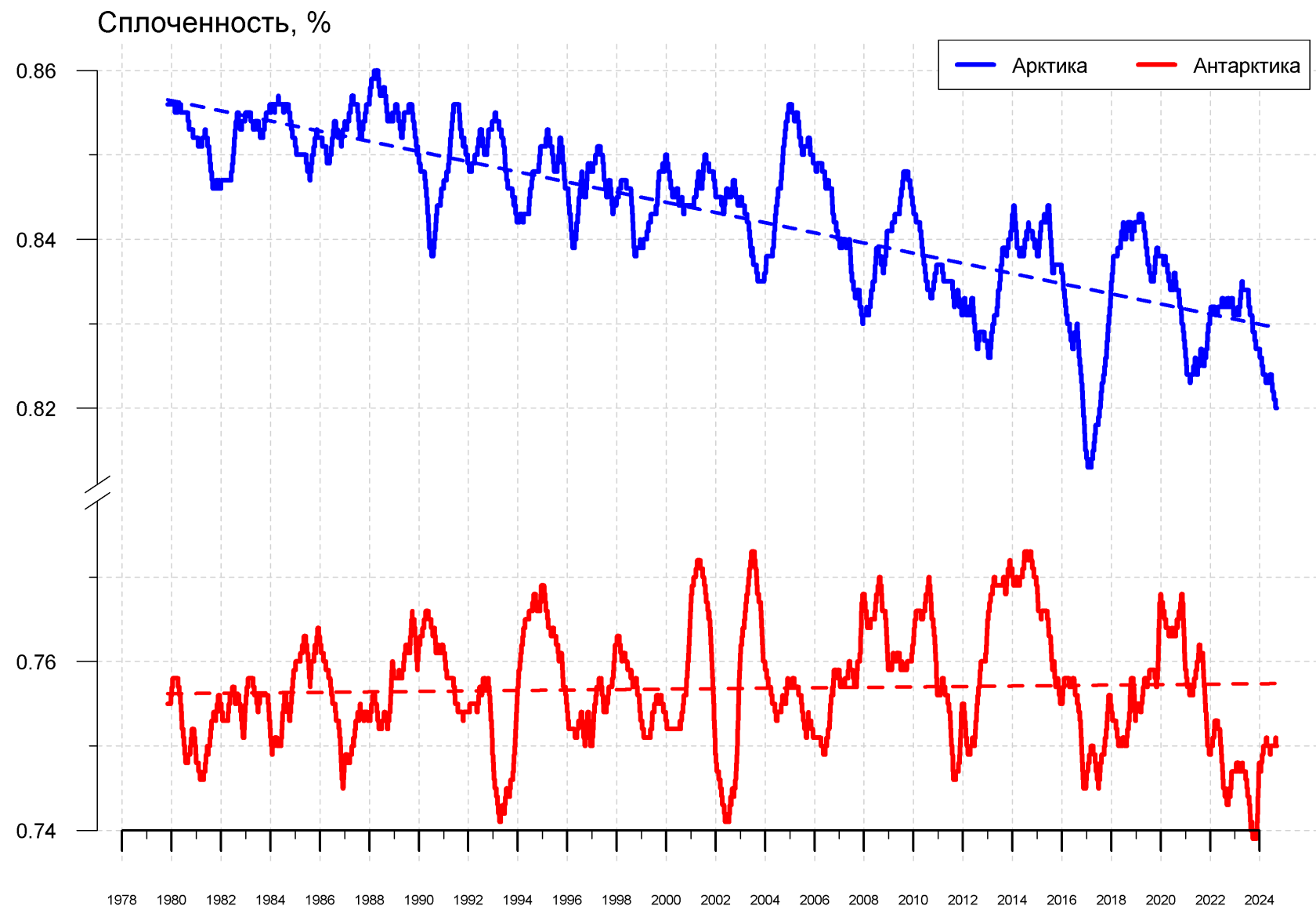


Рисунок 11 – Ежедневные сглаженные окном 365 суток значения средней общей сплоченности Арктики и Антарктики с 07.11.1978 по 11.09.2024 на основе SSMR-SSM/I-SSMIS

Приложение 1 – Статистические значения ледовитостей по отдельным акваториям Северной Полярной Области и Южного океана

Таблица 8 – Средние, аномалии среднего и экстремальные значения ледовитостей для Северной и Южной полярных областей и её отдельных акваторий за текущие 7-дневный (неделя) и 30-дневный промежутки времени по данным наблюдений SSMR-SSM/I-SSMIS, алгоритм NASATEAM за период 1978-2024 гг.

05-11.09

Регион	S, тыс. км ²	Аномалии, тыс км ² /%							1978-2024гг			
		2007 г	2012 г	2020 г	2022 г	2023 г	2014-2024гг	1978-2024гг	Минимум дата	Максимум дата	Среднее	Медиана
Сев. полярная область	4473.8	125.5	947.8	494.1	-558.4	-64.9	-124.0	-1387.2	3471.3 11.09.2012	7680.8 10.09.1980	5861.0	6020.1
		2.9	26.9	12.4	-11.1	-1.4	-2.7	-23.7				
Сектор 45°W- 95°E	913.0	-452.9	-197.8	89.1	-342.6	-311.6	-197.4	-468.2	811.5 07.09.2020	2050.9 06.09.1989	1381.3	1352.7
		-33.2	-17.8	10.8	-27.3	-25.4	-17.8	-33.9				
Гренландское море	106.1	-267.5	-194.3	-94.1	-172.2	-116.8	-78.6	-158.9	69.4 08.09.2021	472.0 11.09.1995	265.0	266.8
		-71.6	-64.7	-47.0	-61.9	-52.4	-42.5	-59.9				
Баренцево море	4.4	1.4	2.2	2.0	-1.4	-1.9	-13.0	-41.5	0.0 06.09.2015	232.1 11.09.1982	45.9	25.4
		47.3	104.7	86.0	-24.5	-30.8	-74.9	-90.5				
Карское море	16.5	-13.2	1.6	5.8	-5.6	-35.9	-10.1	-121.4	3.8 09.09.1995	442.1 08.09.1980	137.8	105.1
		-44.4	10.7	54.0	-25.5	-68.5	-38.0	-88.1				
Сектор 95°E- 170°W	1515.7	694.2	728.5	633.9	-14.5	189.0	219.8	-364.8	758.7 11.09.2012	2887.3 09.09.1979	1880.5	1865.2
		84.5	92.5	71.9	-0.9	14.2	17.0	-19.4				
Море Лаптевых	102.0	-123.9	74.8	94.6	-58.1	-172.2	9.4	-102.0	5.7 05.09.2021	567.2 09.09.1979	204.0	181.3
		-54.8	274.1	1268.2	-36.3	-62.8	10.2	-50.0				
Восточно- Сибирское море	32.3	27.3	28.1	27.5	-135.4	4.0	-54.9	-296.0	1.2 11.09.2007	827.9 11.09.1979	328.3	272.3
		549.7	677.0	572.9	-80.7	14.0	-63.0	-90.2				
Чукотское море	69.0	57.3	60.3	68.1	65.8	67.5	46.8	-30.0	0.6 05.09.2020	388.5 10.09.1983	99.0	64.8
		486.5	691.0	7222.7	2048.0	4333.9	210.0	-30.3				
Берингово море	1.7	-7.5	1.5	-0.1	-0.2	-0.3	0.4	-3.5	0.0 05.09.2006	25.8 10.09.1981	5.2	4.2
		-81.5	900.0	-4.8	-9.1	-16.7	26.8	-67.0				
Сектор 170°W- 45°W	2045.1	-115.7	417.2	-228.9	-201.4	57.6	-146.4	-554.2	1582.6 07.09.2012	3377.2 05.09.1983	2599.3	2689.4
		-5.4	25.6	-10.1	-9.0	2.9	-6.7	-21.3				
Море Бафорта	0.0	-141.8	-7.3	-191.3	-147.7	-51.3	-110.8	-208.7	0.0 05.09.2024	459.8 10.09.1991	208.7	212.0
		-100.0	-100.0	-100.0	-100.0	-100.0	-100.0	-100.0				
Гудзонов залив	8.2	-11.9	0.0	-3.1	-5.6	1.5	-1.3	-16.6	4.2 06.09.2019	98.1 08.09.1990	24.8	20.9
		-59.3	0.4	-27.7	-40.6	22.0	-14.0	-67.1				
Море Лабрадор	0.1	-3.5	0.1	0.0	0.1	0.1	0.0	-3.8	0.0 05.09.2003	28.7 07.09.1988	3.9	2.2
		-97.6	-	0.0	-	-	57.1	-97.8				
Дейвисов пролив	11.2	-5.7	-1.8	-2.1	-2.0	-4.3	-1.1	-7.5	4.8 07.09.2018	90.4 08.09.1983	18.7	15.2
		-33.7	-13.8	-15.5	-15.1	-27.8	-8.6	-40.1				
Канадский архипелаг	289.4	33.2	36.2	-88.1	1.0	30.7	-95.8	-147.6	204.5 11.09.2011	675.0 07.09.1979	437.0	430.5
		12.9	14.3	-23.3	0.4	11.9	-24.9	-33.8				

12.08-11.09

Регион	S, тыс. км2	Аномалии, тыс км2/%							1978-2024гг			
		2007 г	2012 г	2020 г	2022 г	2023 г	2014- 2024гг	1978- 2024гг	Минимум дата	Максимум дата	Среднее	Медиана
Сев. полярная область	4869.3	70.2 1.5	780.6 19.1	237.1 5.1	-685.4 -12.3	-184.8 -3.7	-196.6 -3.9	-1392.6 -22.2	3471.3 11.09.2012	8442.2 12.08.1996	6261.8	6312.1
Сектор 45°W- 95°E	929.1	-522.0 -36.0	-285.1 -23.5	-51.0 -5.2	-335.3 -26.5	-433.9 -31.8	-244.7 -20.8	-535.4 -36.6	811.5 07.09.2020	2204.2 12.08.1981	1464.4	1426.6
Гренландское море	101.2	-270.4 -72.8	-212.7 -67.8	-148.6 -59.5	-186.1 -64.8	-144.0 -58.7	-97.6 -49.1	-178.1 -63.8	69.4 08.09.2021	565.5 19.08.1981	279.2	278.2
Баренцево море	4.9	-20.3 -80.5	-0.3 -5.8	-1.1 -18.0	-4.7 -48.7	-15.2 -75.6	-18.6 -79.0	-53.2 -91.5	0.0 26.08.2015	275.8 12.08.1982	58.1	35.9
Карское море	15.7	-59.1 -79.0	1.0 6.9	-4.2 -21.3	-23.9 -60.3	-86.2 -84.6	-29.9 -65.6	-161.5 -91.1	3.8 04.09.2019	585.4 13.08.1980	177.2	135.1
Сектор 95°E- 170°W	1775.8	777.5 77.9	680.1 62.1	673.1 61.0	-7.5 -0.4	281.2 18.8	273.1 18.2	-259.4 -12.7	758.7 11.09.2012	3082.4 13.08.1996	2035.2	2031.7
Море Лаптевых	130.0	-100.9 -43.7	76.7 143.7	121.6 1441.1	-47.7 -26.8	-144.7 -52.7	14.3 12.3	-104.2 -44.5	5.7 05.09.2021	611.8 13.08.1996	234.2	228.3
Восточно- Сибирское море	140.7	134.4 2128.4	87.3 163.3	130.0 1213.8	-151.6 -51.9	56.7 67.4	-11.1 -7.3	-247.8 -63.8	0.6 24.08.2007	892.6 12.08.1996	388.6	352.9
Чукотское море	130.5	124.5 2066.8	71.0 119.2	123.3 1709.2	97.9 300.7	116.2 814.6	85.9 192.6	9.7 8.0	0.0 23.08.2009	388.5 10.09.1983	120.8	91.3
Берингово море	3.7	0.8 28.6	3.5 3050.0	0.5 16.8	-0.4 -10.6	-0.7 -15.9	0.6 19.7	1.2 47.3	0.0 12.08.1979	25.8 10.09.1981	2.5	0.0
Сектор 170°W- 45°W	2164.4	-185.4 -7.9	385.5 21.7	-385.0 -15.1	-342.7 -13.7	-32.1 -1.5	-225.0 -9.4	-597.8 -21.6	1577.1 04.09.2012	3770.1 13.08.1983	2762.2	2868.6
Море Бафорта	20.9	-143.5 -87.3	0.8 4.0	-225.3 -91.5	-182.3 -89.7	-49.1 -70.1	-122.0 -85.4	-211.1 -91.0	0.0 02.09.2024	478.5 25.08.1991	232.0	234.1
Гудзонов залив	27.0	3.4 14.6	3.5 15.1	1.8 7.1	1.2 4.4	-2.4 -8.1	3.5 14.7	-4.9 -15.4	3.0 01.09.2019	148.9 13.08.1992	32.0	29.5
Море Лабрадор	2.0	-1.3 -39.0	2.0 -	1.3 206.4	1.7 489.5	1.5 286.9	0.7 54.3	-1.8 -46.7	0.0 12.08.1998	42.0 15.08.1994	3.7	2.2
Дейвисов пролив	19.1	-2.4 -11.4	3.8 25.0	-0.8 -4.2	-4.8 -20.2	-6.3 -24.8	-1.7 -8.3	-8.2 -30.1	4.8 30.08.2008	191.0 12.08.1983	27.3	20.7
Канадский архипелаг	308.3	-11.7 -3.7	-12.5 -3.9	-149.9 -32.7	-31.3 -9.2	5.2 1.7	-121.1 -28.2	-195.6 -38.8	204.5 11.09.2011	889.1 15.08.1992	503.9	508.9

05-11.09

Регион	S, тыс. км2	Аномалии, тыс км2/%							1978-2024гг			
		2007 г	2012 г	2020 г	2022 г	2023 г	2014- 2024гг	1978- 2024гг	Минимум дата	Максимум дата	Среднее	Медиана
Южный Океан	17086.5	-1696.1 -9.0	-1860.5 -9.8	-1510.3 -8.1	-851.9 -4.7	126.4 0.7	-1029.1 -5.7	-1305.8 -7.1	16928.6 11.09.2023	19566.1 11.09.2014	18392.3	18447.2
Атлантический сектор	6715.7	-1004.0 -13.0	-654.4 -8.9	-1093.0 -14.0	-117.1 -1.7	230.2 3.5	-489.6 -6.8	-585.6 -8.0	6253.1 05.09.2023	8261.1 06.09.1980	7301.4	7326.9
Западная часть моря Уэдделла	2456.7	-172.8 -6.6	154.6 6.7	-258.4 -9.5	172.6 7.6	62.1 2.6	25.3 1.0	-13.1 -0.5	2067.6 11.09.2018	3142.9 08.09.1980	2469.8	2430.2
Восточная часть моря Уэдделла	4259.0	-831.2 -16.3	-808.9 -16.0	-834.6 -16.4	-289.7 -6.4	168.1 4.1	-514.9 -10.8	-572.5 -11.8	3895.7 05.09.2023	5590.2 06.09.1992	4831.6	4837.5
Индоокеанский сектор	3935.0	-101.7 -2.5	-890.3 -18.5	-356.2 -8.3	-183.0 -4.4	-211.5 -5.1	-344.4 -8.0	-487.6 -11.0	3846.7 07.09.2000	5185.8 05.09.1982	4422.6	4359.5
Море Космонавтов	786.7	-188.8 -19.4	-477.6 -37.8	-311.0 -28.3	-356.1 -31.2	-232.0 -22.8	-321.7 -29.0	-367.1 -31.8	729.4 05.09.2024	1512.6 10.09.2004	1153.8	1148.5
Море Содружества	1452.8	-35.1 -2.4	-30.5 -2.1	70.8 5.1	125.6 9.5	95.6 7.0	24.6 1.7	-51.0 -3.4	1132.9 07.09.1979	1810.5 11.09.1999	1503.8	1498.5
Море Моусона	1695.5	122.3 7.8	-382.3 -18.4	-116.0 -6.4	47.5 2.9	-75.1 -4.2	-47.2 -2.7	-69.5 -3.9	1271.8 05.09.1989	2420.0 07.09.1982	1765.0	1770.2
Тихоокеанский сектор	6435.7	-590.5 -8.4	-315.8 -4.7	-61.1 -0.9	-551.8 -7.9	107.7 1.7	-195.1 -2.9	-232.6 -3.5	5802.8 08.09.1987	7516.8 09.09.2000	6668.3	6685.2
Море Росса	5337.9	-660.1 -11.0	-436.7 -7.6	-79.9 -1.5	-770.8 -12.6	283.1 5.6	-172.1 -3.1	-175.5 -3.2	4791.9 08.09.2003	6351.4 05.09.2000	5513.4	5539.3
Море Беллинсгаузена	1097.9	69.6 6.8	120.9 12.4	18.8 1.7	219.0 24.9	-175.3 -13.8	-23.0 -2.1	-57.0 -4.9	791.0 11.09.1992	1683.7 10.09.2015	1154.9	1139.7

12.08-11.09

Регион	S, тыс. км2	Аномалии, тыс км2/%							1978-2024гг			
		2007 г	2012 г	2020 г	2022 г	2023 г	2014- 2024гг	1978- 2024гг	Минимум дата	Максимум дата	Среднее	Медиана
Южный Океан	16813.2	-1326.0 -7.3	-1627.5 -8.8	-1402.6 -7.7	-625.6 -3.6	612.4 3.8	-962.7 -5.4	-1253.0 -6.9	15084.6 12.08.2023	19566.1 11.09.2014	18066.2	18083.2
Атлантический сектор	6759.3	-610.5 -8.3	-453.2 -6.3	-843.0 -11.1	78.8 1.2	549.9 8.9	-301.4 -4.3	-393.5 -5.5	5960.8 13.08.2023	8261.1 06.09.1980	7152.7	7166.5
Западная часть моря Уэдделла	2760.2	220.0 8.7	438.9 18.9	170.0 6.6	463.7 20.2	437.7 18.8	305.4 12.4	278.0 11.2	2067.6 11.09.2018	3226.4 17.08.1980	2482.2	2442.4
Восточная часть моря Уэдделла	3999.1	-830.5 -17.2	-892.1 -18.2	-1012.9 -20.2	-385.0 -8.8	112.2 2.9	-606.8 -13.2	-671.5 -14.4	3380.3 15.08.1986	5590.2 06.09.1992	4670.6	4685.0
Индоокеанский сектор	3679.8	-244.9 -6.2	-921.0 -20.0	-405.4 -9.9	-305.4 -7.7	-252.3 -6.4	-451.1 -10.9	-604.4 -14.1	3388.4 12.08.2024	5185.8 05.09.1982	4284.1	4241.4
Море Космонавтов	742.1	-205.8 -21.7	-439.8 -37.2	-366.9 -33.1	-320.9 -30.2	-207.4 -21.8	-322.2 -30.3	-362.0 -32.8	625.5 30.08.2024	1544.8 03.09.2010	1104.0	1100.7
Море Содружества	1373.6	-90.8 -6.2	-96.9 -6.6	78.0 6.0	117.6 9.4	84.7 6.6	21.1 1.6	-82.9 -5.7	997.3 12.08.1979	1846.4 28.08.2006	1456.4	1464.6
Море Моусона	1564.1	51.7 3.4	-384.2 -19.7	-116.5 -6.9	-102.1 -6.1	-129.6 -7.6	-149.9 -8.7	-159.6 -9.3	1223.8 02.09.1989	2420.0 07.09.1982	1723.7	1715.9
Тихоокеанский сектор	6374.1	-470.5 -6.9	-253.4 -3.8	-154.3 -2.4	-399.0 -5.9	314.8 5.2	-210.3 -3.2	-255.2 -3.8	5592.1 12.08.2023	7516.8 09.09.2000	6629.3	6640.5
Море Росса	5291.1	-490.5 -8.5	-269.7 -4.8	-166.5 -3.1	-761.6 -12.6	526.1 11.0	-136.4 -2.5	-176.4 -3.2	4347.2 13.08.1980	6351.4 05.09.2000	5467.4	5479.3
Море Беллинсгаузена	1083.1	19.9 1.9	16.3 1.5	12.2 1.1	362.6 50.3	-211.3 -16.3	-73.9 -6.4	-78.8 -6.8	433.4 22.08.2022	1683.7 10.09.2015	1161.9	1159.6

Таблица 10 – Динамика изменения значений ледовитости по сравнению с предыдущей неделей для морей Северной полярной области и Южного океана за текущий 7-дневный (неделя) промежуток времени по данным наблюдений SSMIS

05-11.09				
Регион	Сев. полярная область	Сектор 45°W-95°E	Гренландское море	Баренцево море
Разность	-122.8	36.5	12.1	-1.0
тыс.кв.км/ сут.	-17.5	5.2	1.7	-0.1
05-11.09				
Регион	Карское море	Сектор 95°E-170°W	Море Лаптевых	Восточно-Сибирское море
Разность	-1.4	-96.4	-8.3	-35.4
тыс.кв.км/ сут.	-0.2	-13.8	-1.2	-5.1
05-11.09				
Регион	Чукотское море	Берингово море	Сектор 170°W-45°W	Море Бофорта
Разность	-14.0	-1.2	-62.9	-1.8
тыс.кв.км/ сут.	-2.0	-0.2	-9.0	-0.3
05-11.09				
Регион	Гудзонов залив	Море Лабрадор	Дейвисов пролив	Канадский архипелаг
Разность	-20.1	-3.0	-7.0	-24.0
тыс.кв.км/ сут.	-2.9	-0.4	-1.0	-3.4
05-11.09				
Регион	Южный Океан	Атлантический сектор	Западная часть моря Уэдделла	Восточная часть моря Уэдделла
Разность	112.9	-187.6	-235.6	48.1
тыс.кв.км/ сут.	16.1	-26.8	-33.7	6.9
05-11.09				
Регион	Индоокеанский сектор	Море Космонавтов	Море Содружества	Море Моусона
Разность	192.9	92.4	51.8	48.7
тыс.кв.км/ сут.	27.6	13.2	7.4	7.0
05-11.09				
Регион	Тихоокеанский сектор	Море Росса	Море Беллинсгаузена	
Разность	107.5	17.8	89.8	
тыс.кв.км/ сут.	15.4	2.5	12.8	

Характеристика исходного материала и методика расчетов

Для иллюстрации ледовых условий Арктического региона представлены совмещенные региональные карты ААНИИ [4, 6], Канадской ледовой службы – КЛС [12], Национального ледового центра США – НЛЦ [10], Ледовой службы отделения Аляска НОАА [23] и НИЦ Планета [9]. Совмещение карт выполнено путем перекрытия слоев отдельных ледовых служб в зависимости от времени ледового анализа. Карты ААНИИ характеризуют ледовые условия морей Гренландского...Бофорта, карты НИЦ Планета – Азовского, Каспийского, Берингова, Охотского, Японского, карты НЛЦ – Северных частей Тихого и Атлантического океанов и Арктического бассейна, вод Гренландии, Ледовой службы отделения Аляска НОАА – Берингово, Чукотское моря, КЛС - морей Бофорта, Канадского архипелага, Баффина, Девисова пролива, Лабрадор, Св. Лаврентия. Для ледовых условий и распределения айсбергов Южного океана использованы данные проекта по интегрированному ледовому анализу Южного океана – циркумполярные карты ААНИИ [5, 7], НЛЦ [10, 11] и карты акватории Антарктического полуострова Норвежского метеорологического института (НМИ) [21]. Для построения совмещенных карт используется архив данных в обменном формате ВМО СИГРИД-3 [18] Мирового центра данных по морскому льду (МЦД МЛ) – проекта ВМО «Глобальный Банк Цифровых Данных по Морскому Льду». В пределах отдельного срока выборка карт из архива проводится по критериям близости карт к сроку выпуска карты ААНИИ с максимальным интервалом времени между картами до 7 суток (день недели выпуска карт ААНИИ – вторник, Ледовой службы отделения Аляска НОАА – ежедневно, НИЦ Планета – понедельник-четверг, КЛС – понедельник, НЛЦ – четверг для морского льда и четверг/пятница – для крупных айсбергов Южного океана, НМИ - понедельник).

Для иллюстрации полей толщин льда СЛО использованы ежедневные данные по распределению средневзвешенной толщины льда численной модели HYCOM-CICE Датского метеорологического института (ДМИ) [20]. Численная модель HYCOM-CICE имеет разрешение 10x10 км и является совместной моделью морского льда – океана. Портал полярных данных ДМИ [22] используется также как источник данных по оценке объема льда СЛО, температуры поверхности океана/морского льда, аномалий температуры воздуха и поля приземного ветра.

Для иллюстрации ледовых условий Северной Полярной области и Южного океана за последние сутки используются ежедневные циркумполярные ледовые информационные продукты НЛЦ США по оценке расположения кромки льда и ледяных массивов - MIZ (Marginal Ice Zone).

Для цветовой окраски карт использован стандарт ВМО (WMO/Td. 1215) [19] для зимнего (по возрасту) и летнего (по общей сплошности) периодов. Следует также отметить, что в зонах стыковки карт ААНИИ, Ледовой службы отделения Аляска НОАА, КЛС и НЛЦ наблюдается определенная несогласованность границ и характеристик ледовых зон вследствие ряда различий в ледовых информационных системах подготавливающих служб. Однако, данная несогласованность несущественна для целей интерпретации ледовых условий в рамках настоящего обзора.

Для оценки распределения толщин льда в морях СМП использованы совмещенные недельные данные дистанционного зондирования ИСЗ Cryosat-2 (радиолокационная альтиметрия) и SMOS (пассивное микроволновое зондирование), подготавливаемые Институтом полярных исследований им. А.Вегенера (AWI) [24].

Для получения оценок ледовитости (extent) и приведенной ледовитости – площади льда (area) отдельных секторов, морей, частей морей Северной Полярной области и Южного океана и климатического положения кромок заданной повторяемости на основе данных спутниковых систем пассивного микроволнового зондирования SSMR-SSM/I-SSMIS [17] в МЦД МЛ ААНИИ принята следующая технология расчетов:

- источник данных – архивные (Cavalieri et al., 2008, Meier et al., 2006) и квазиоперативные (Maslanik and Stroeve, 1999) с задержкой 1-2 дня ежедневные матрицы (поля распределения) оценок общей сплошности Северной (севернее 45° с.ш.) и Южной (южнее 50° с.ш.) Полярных областей на основе обработанных по алгоритму NASATEAM

данных многоканальных микроволновых радиометров SSMR-SSM/I-SSMIS ИСЗ NIMBUS-7 и DMSP за период с 26.10.1978 г. по настоящий момент времени [13, 14, 15], копируемые с сервера НЦДСЛ;

- область расчета – Северная и Южная Полярные области и их регионы с использованием масок океан/суша НЦДСЛ (http://nsidc.org/data/polar_stereo/tools_masks.html);
- границы используемых масок расчета отдельных меридиональных секторов, морей, частей морей Северной полярной области и Южного океана представлены на рисунках П1 – П6 в полярной равноплощадной проекции Ламберта [26], не совпадают с используемыми в НЦДСЛ масками для отдельных акваторий Мирового океана и основаны на цифровой основе Международной гидрографической организации [25], повторяющей по номенклатуре, но не совпадающей по границам (вследствие отсутствия цифроосновы) публикациям «Атлас Северного ледовитого океана (1980)» и «Атлас океанов» [1, 2, 3].
- вычислительные особенности расчета – авторское программное обеспечение ААНИИ с сохранением точности расчетов и оценке статистических параметров по гистограмме распределения и свободно-распространяемое программное обеспечение GDAL для векторизации полей климатических параметров;

В графическом формате PNG совмещенные карты ААНИИ-КЛС-НЛЦ Ледовой службы отделения Аляска NOAA доступны по адресу <http://wdc.aari.ru/datasets/d0040>.

Результаты расчетов ледовитости Северной, Южной полярных областей, их отдельных меридиональных секторов, морей и частей морей доступны на сервере МЦД МЛ ААНИИ в каталогах соответственно <http://wdc.aari.ru/datasets/ssmi/data/north/extent/> и <http://wdc.aari.ru/datasets/ssmi/data/south/extent/>.

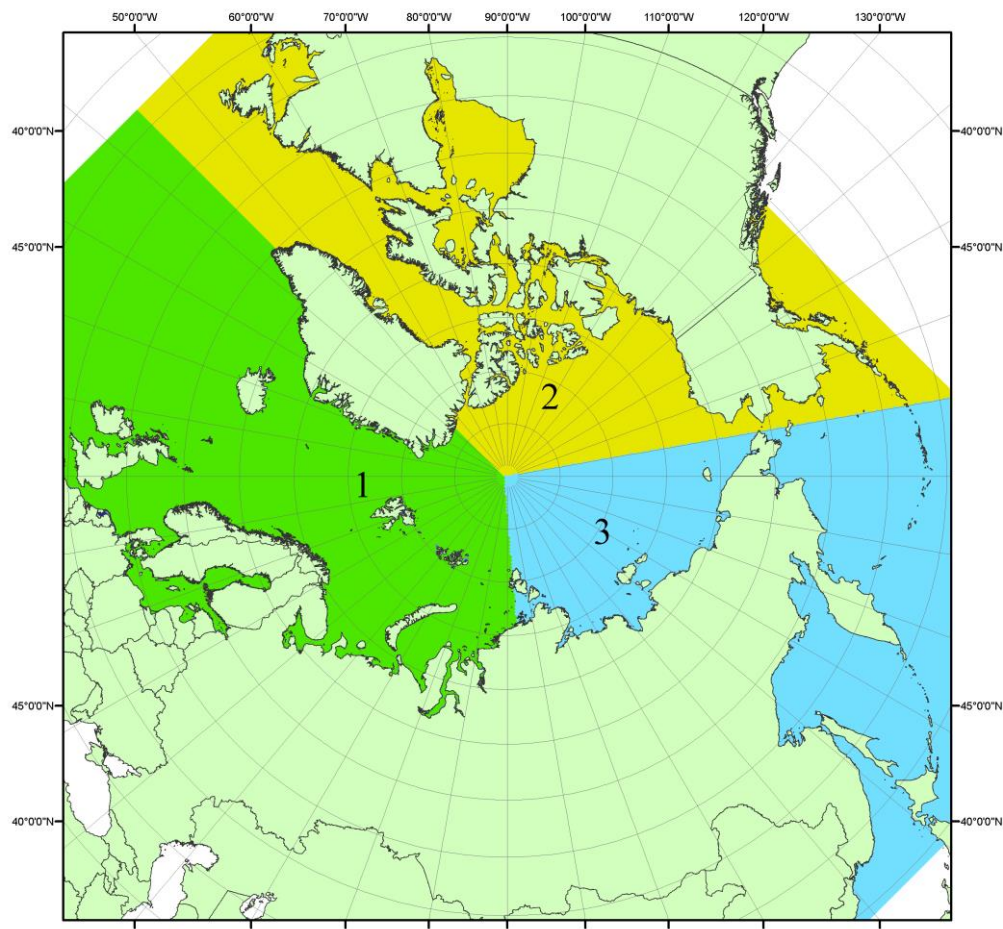


Рисунок П1 – Секторальное деление северной полярной области. 1 - Сектор 45°W-95°E (Гренландское - Карское моря); 2 - Сектор 170°W-45°W (море Бофорта и Канадская Арктика); 3 - Сектор 95°E-170°W (моря Лаптевых - Чукотское, Берингово, Охотское, Японское)

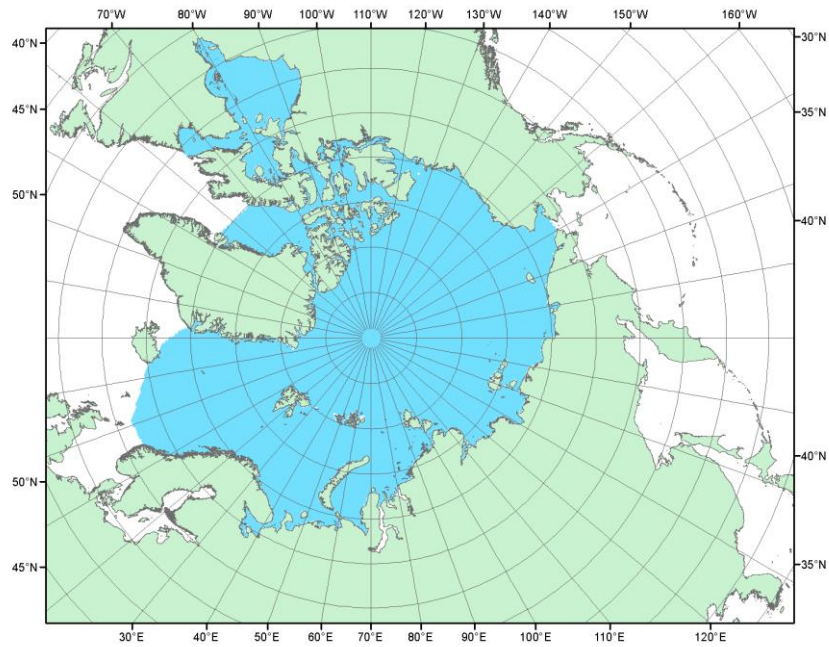


Рисунок П2 – Северный ледовитый океан в официальных границах

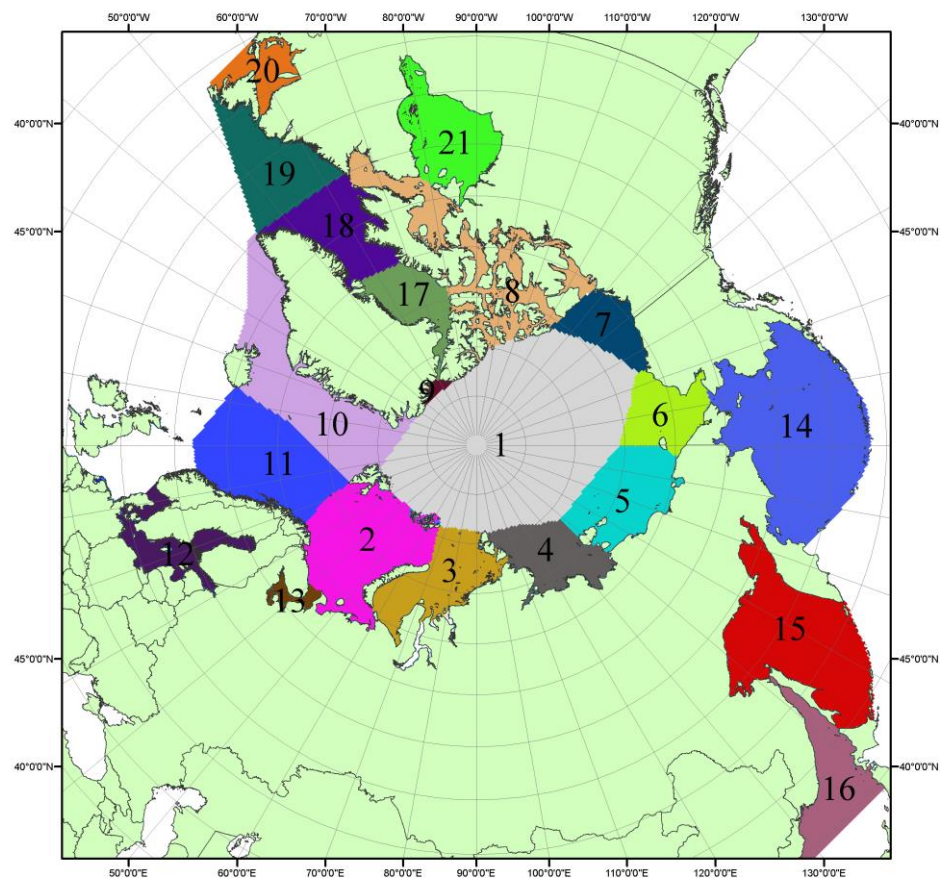


Рисунок П3 – Моря северной полярной области. 1 – Арктический бассейн; 2- Баренцево море; 3 – Карское море; 4 – море Лаптевых; 5 - Восточно-Сибирское море; 6 – Чукотское море; 7 – море Бофорта; 8 – Канадский архипелаг; 9 – море Линкольна; 10 – Гренландское море; 11 – Норвежское море; 12 – Балтийское море; 13 – Белое море; 14 – Берингово море; 15 – Охотское море; 16 – Японское море; 17 – море Баффина; 18 – Дейвисов пролив; 19 – море Лабрадор; 20 – залив Святого Лаврентия; 21 – Гудзонов залив.

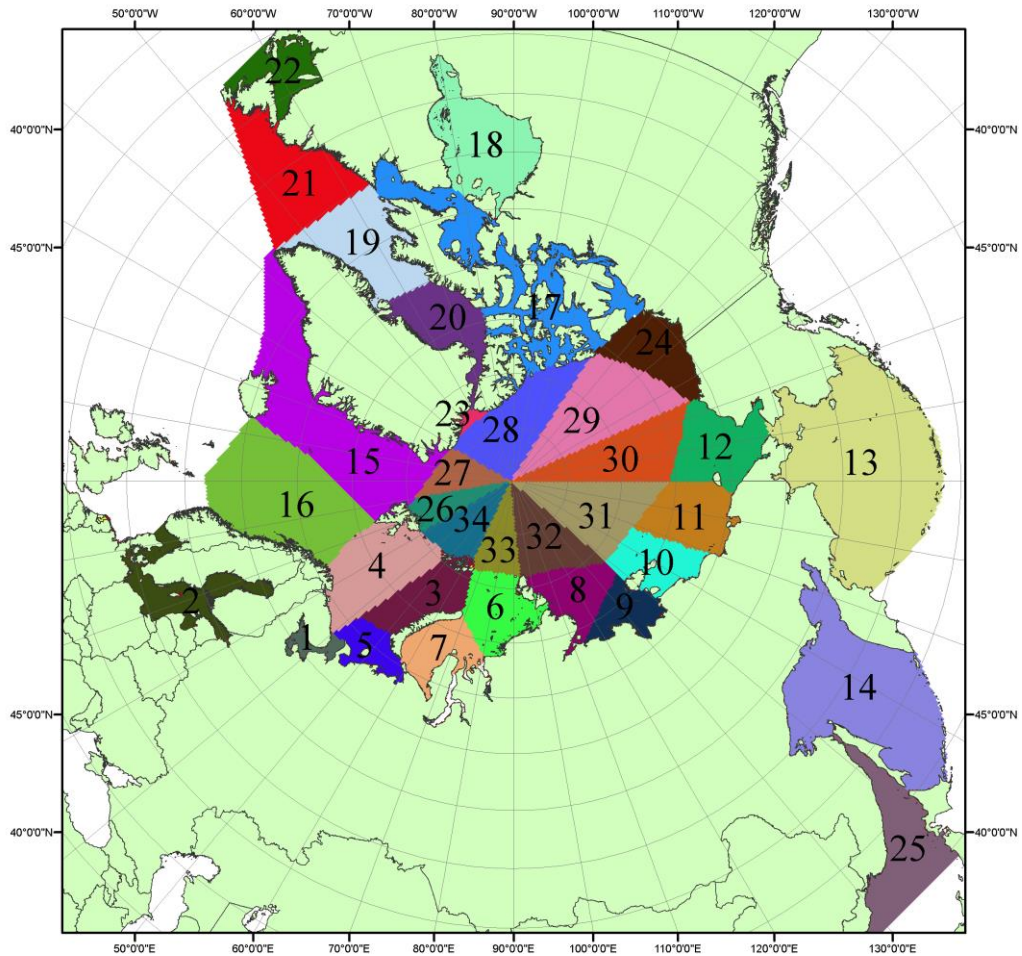


Рисунок П4 – Сектора и моря северной полярной области. 1 - Белое море; 2 - Балтийское море; 3 – Баренцево море (СВ); 4 – Баренцево море (З); 5 - Баренцево море (ЮВ); 6 – Карское море (СВ); 7 – Карское море (ЮЗ); 8 – море Лаптевых (В); 9 – море Лаптевых (З); 10 – Восточно-Сибирское море (З); 11 – Восточно-Сибирское море (В); 12 – Чукотское море; 13 – Берингово море; 14 – Охотское море; 15 – Гренландское море; 16 – Норвежское море; 17 – Канадский архипелаг; 18 – Гудзонов залив; 19 – Дейвисов пролив; 20 - море Баффина; 21 – море Лабрадор; 22 - залив Святого Лаврентия; 23 - море Линкольна; 24 - море Бофорта; 25 - Японское море; 26 - сектор АО (30° з.д. – 10° в.д.); 27 – сектор АО (10° в.д. – 30° в.д.); 28 - сектор АО (30° в.д. – 65° в.д.); 29 - сектор АО (65° в.д. – 96° в.д.); 30 - сектор АО (96° в.д. – 140° в.д.); 31 - сектор АО (140° в.д. – 180° в.д.); 32 - сектор АО (180° в.д. – 156° з.д.); 33 - сектор АО (156° з.д. – 123° з.д.); 34 - сектор АО (123° з.д. – 30° з.д.).

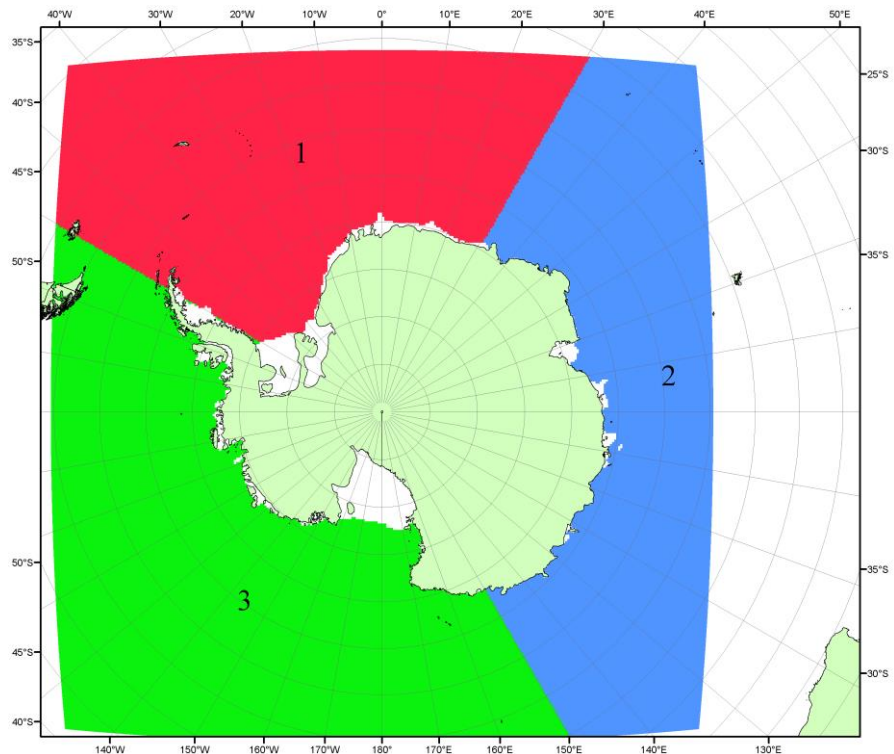


Рисунок П5 – Секторальное деление Южного океана. 1 - Атлантический сектор (60°W - 30°E , море Уэдделла); 2 - Индоокеанский сектор (30°E - 150°E , моря Космонавтов, Содружества, Моусона); 3 - Тихоокеанский сектор (150°E - 60°W , моря Росса, Беллинсгаузена)

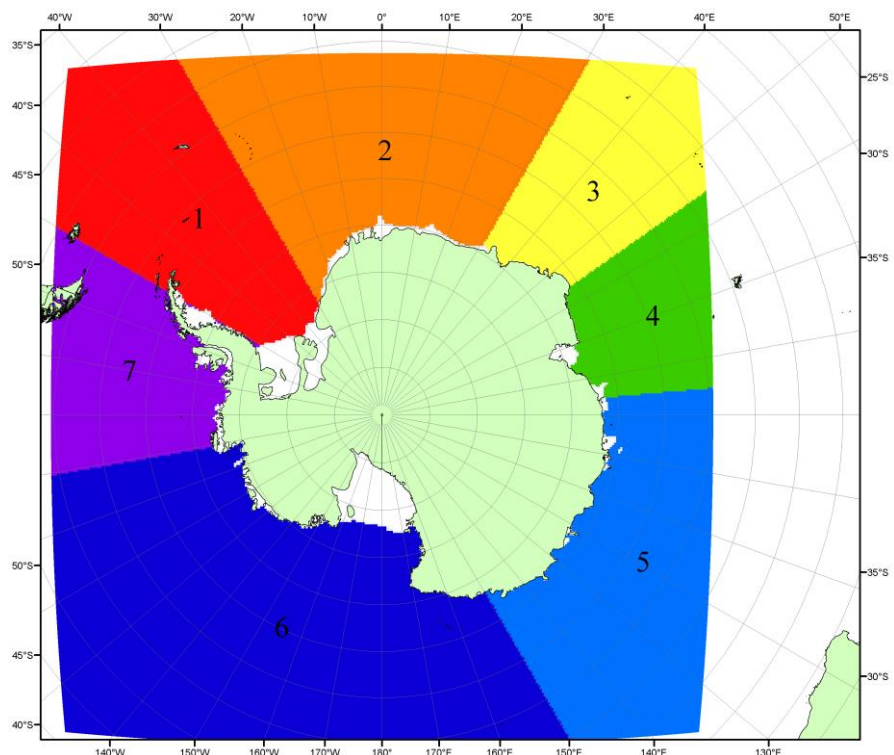


Рисунок П6 – Моря Южного океана. 1 – Западная часть моря Уэдделла; 2- Восточная часть моря Уэдделла; 3 – Море Космонавтов; 4 – море Содружества; 5 – море Моусона; 6 – море Росса; 7 – Море Беллинсгаузена.

Список источников

1. Атлас океанов. Северный Ледовитый океан. – 1980. М: Изд. ГУНИО МО СССР ВМФ – 184 с.
2. Атлас океанов. Термины. Понятия. Справочные таблицы. - Изд. ВМФ МО СССР.-1980.
3. Границы океанов и морей. – 1960. Л.: Изд. ГУНИО ВМФ. – 51 с.
4. Обзорные ледовые карты ФГБУ «ААНИИ» Северного Ледовитого океана за 2008-2018 гг. в обменном формате ВМО СИГРИД-3 // Мировой центр данных по морскому льду - Глобальный банк данных по морскому льду – <http://wdc.aari.ru/datasets/d0015>.
5. Комплексные ледовые карты ФГБУ «ААНИИ» Южного океана за 2014-2018 гг. в обменном формате ВМО СИГРИД-3 // Мировой центр данных по морскому льду - Глобальный банк данных по морскому льду – <http://wdc.aari.ru/datasets/d0015>.
6. Комплексные ледовые карты ФГБУ «ААНИИ» арктических и замерзающих морей России за 1997-2018 гг. в обменном формате ВМО СИГРИД-3 // Мировой центр данных по морскому льду - Глобальный банк данных по морскому льду – <http://wdc.aari.ru/datasets/d0004>.
7. Карты ФГБУ «ААНИИ» анализа крупных айсбергов Южного океана за 2014-2018 гг. в обменном формате ВМО СИГРИД-3 // Мировой центр данных по морскому льду - Глобальный банк данных по морскому льду – <http://wdc.aari.ru/datasets/d0015>.
8. Комплексные ледовые карты ФГБУ «Гидрометцентр России» Азовского, Каспийского и Белого морей за 2000-2017 гг. в обменном формате ВМО СИГРИД-3 // Мировой центр данных по морскому льду - Глобальный банк данных по морскому льду – <http://wdc.aari.ru/datasets/d0033>.
9. Комплексные ледовые карты ФГБУ «НИЦ Планета» Азовского, Каспийского, Берингова, Охотского и Японского морей за 2016-2018 гг. в обменном формате ВМО СИГРИД-3 // Мировой центр данных по морскому льду - Глобальный банк данных по морскому льду – <http://wdc.aari.ru/datasets/d0034>.
10. Комплексные ледовые карты Северной полярной области и Южного океана Национального ледового центра США за 2003-2018 гг. в обменном формате ВМО СИГРИД-3 // Мировой центр данных по морскому льду - Глобальный банк данных по морскому льду – <http://wdc.aari.ru/datasets/d0032>.
11. Карты анализа крупных айсбергов Южного океана Национального ледового центра США за 2014-2018 гг. в обменном формате ВМО СИГРИД-3 // Мировой центр данных по морскому льду - Глобальный банк данных по морскому льду – <http://wdc.aari.ru/datasets/d0032>.
12. Комплексные ледовые карты Канадской Арктики Канадской ледовой службы за 2006-2018 гг. в обменном формате ВМО СИГРИД-3 // Мировой центр данных по морскому льду - Глобальный банк данных по морскому льду – <http://wdc.aari.ru/datasets/d0031>.
13. Cavalieri, D., C. Parkinson, P. Gloersen, and H. J. Zwally. 1996, updated 2008. *Sea Ice Concentrations from Nimbus-7 SMMR and DMSP SSM/I Passive Microwave Data*, [1978.10.26 – 2007.12.31]. Boulder, Colorado USA: National Snow and Ice Data Center. Digital media.
14. Meier, W., F. Fetterer, K. Knowles, M. Savoie, M. J. Brodzik. 2006, updated quarterly. *Sea Ice Concentrations from Nimbus-7 SMMR and DMSP SSM/I Passive Microwave Data*, [2008.01.01 – 2008.03.25]. Boulder, Colorado USA: National Snow and Ice Data Center. Digital media.
15. Maslanik, J., and J. Stroeve. 1999, updated daily. *Near-Real-Time DMSP SSM/I-SSMIS Daily Polar Gridded Sea Ice Concentrations*, [2008.03.26 – present moment]. Boulder, Colorado USA: National Snow and Ice Data Center. Digital media.
16. Andersen, S., R. Tonboe, L. Kaleschke, G. Heygster, and L. T. Pedersen, Intercomparison of passive microwave sea ice concentration retrievals over the high-concentration Arctic sea ice.// *J. Geophys. Res.* – 2007. – Vol. 112. C08004, doi:10.1029/2006JC003543.
17. Статистические характеристики сплошности морского льда Северной полярной области и Южного океана на основе данных наблюдений SSMR-SSM/I-SSMIS, алгоритм NASATEAM // Мировой центр данных по морскому льду - Глобальный банк данных по морскому льду – <http://wdc.aari.ru/datasets/ssmi>.
18. SIGRID-3: A vector archive format for Sea Ice Georeferenced Information and Data - JCOMM Technical Report Series No. 23, 2014, WMO/TD-No.1214.

19. Ice Chart Colour Code Standard. - JCOMM Technical Report Series No. 24, 2004, WMO/TD-No.1215.
(http://jcomm.info/index.php?option=com_oe&task=viewDocumentRecord&docID=4914)
20. Danish Meteorological Institute North Atlantic - Arctic Ocean model HYCOM-CICE - <http://ocean.dmi.dk/models/hycom.uk.php>
21. Портал данных ледового анализа Южного океана Норвежского метеорологического института - <http://polarview.met.no/Antarctic.html>
22. Портал полярных данных Датского метеорологического института - <http://polarportal.dk>
23. Комплексные ледовые карты Берингова и чукотского морей Ледовой службы отделения NOAA Аляска в обменном формате ВМО СИГРИД-3 // <https://www.weather.gov/>.
24. AWI CryoSat-SMOS Merged Sea Ice Thickness - <https://spaces.awi.de/display/CS2SMOS/CryoSat-SMOS+Merged+Sea+Ice+Thickness>
25. Flanders Marine Institute (2018). IHO Sea Areas, version 3. Available online at URL: <http://www.marineregions.org/> (дата обращения 08.04.2023).
26. Полярная равноплощадная проекция Ламберта. URL: <https://epsg.io/3576> (дата обращения 07.04.2023).